

# Vorlesung Algorithmische Kartografie

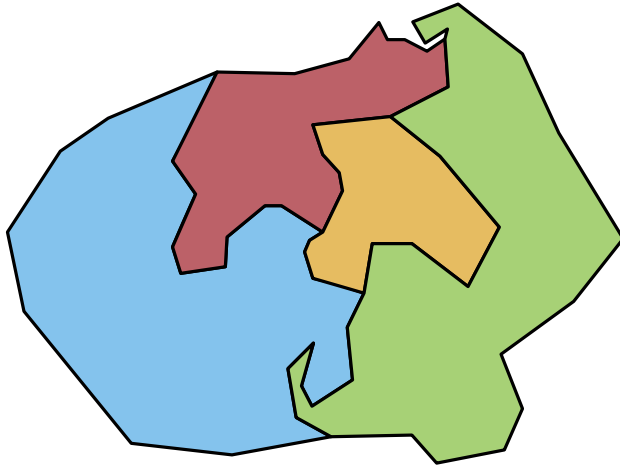
## Linienvereinfachung III

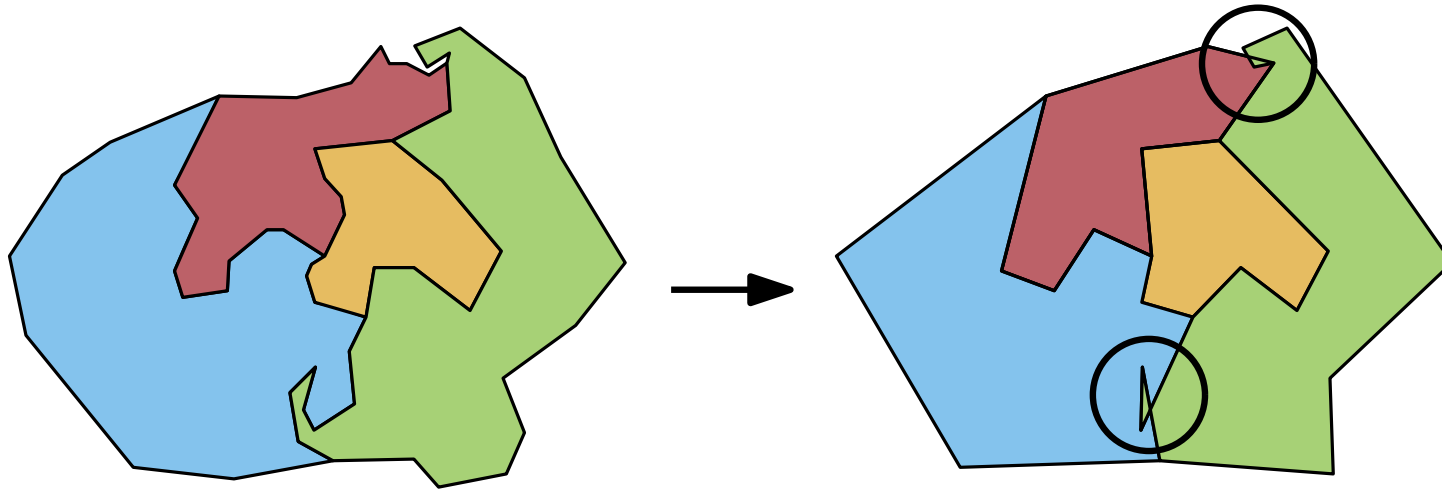
INSTITUT FÜR THEORETISCHE INFORMATIK · FAKULTÄT FÜR INFORMATIK

Benjamin Niedermann · **Martin Nöllenburg**  
23.04.2015

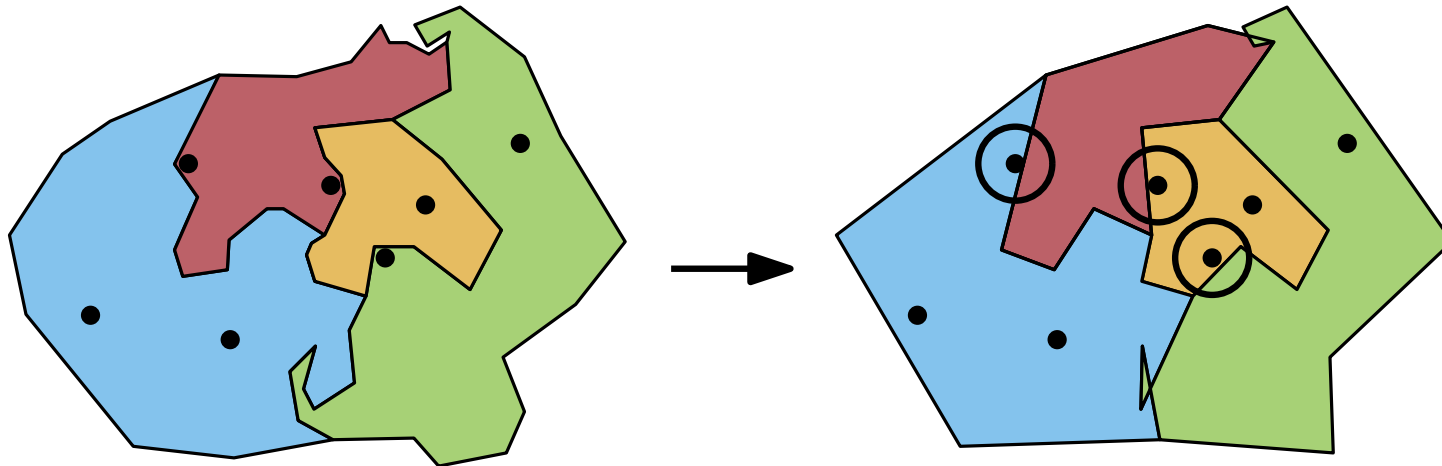


# Pfadvereinfachung für Landkarten

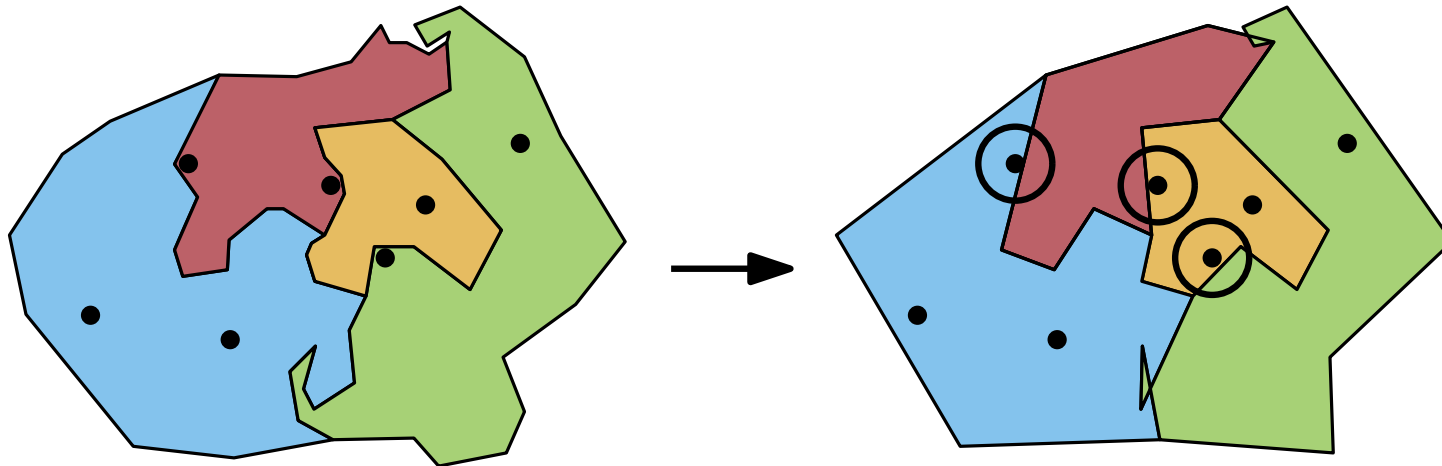




- Selbstschnitte und Schnitte mit anderen Pfaden möglich



- Selbstschnitte und Schnitte mit anderen Pfaden möglich
- Punkte (z.B. Städte) können auf falsche Seite gelangen



- Selbstschnitte und Schnitte mit anderen Pfaden möglich
- Punkte (z.B. Städte) können auf falsche Seite gelangen

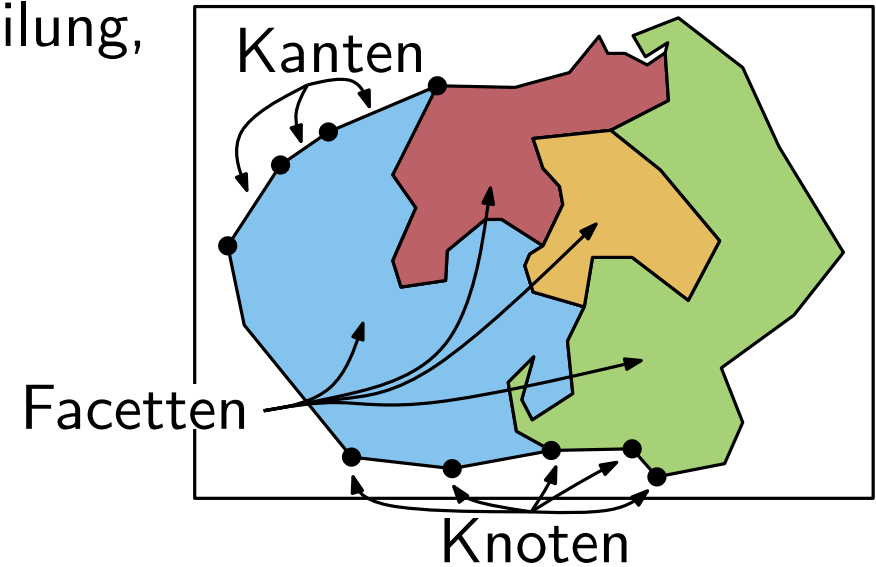
→ benötigen topologisch korrekten Vereinfachungsalgorithmus

**Ansatz 1:** nachträgliches Korrigieren

**Ansatz 2:** Vermeiden durch „schlauere“ Algorithmen

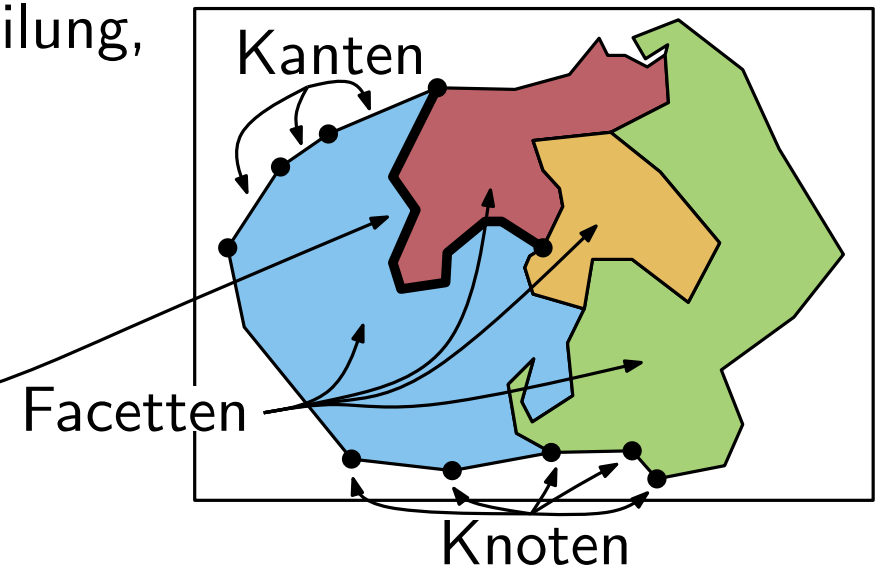
# Ein paar Begriffe

- Karte modelliert als Rechtecksunterteilung, d.h. als planarer Graph  
→ Knoten, Kanten, Facetten



# Ein paar Begriffe

- Karte modelliert als Rechtecksunterteilung, d.h. als planarer Graph  
→ Knoten, Kanten, Facetten
- Knotengrade üblicherweise 2 oder 3
- maximale Pfade von Grad-2 Knoten bilden Kantenzüge

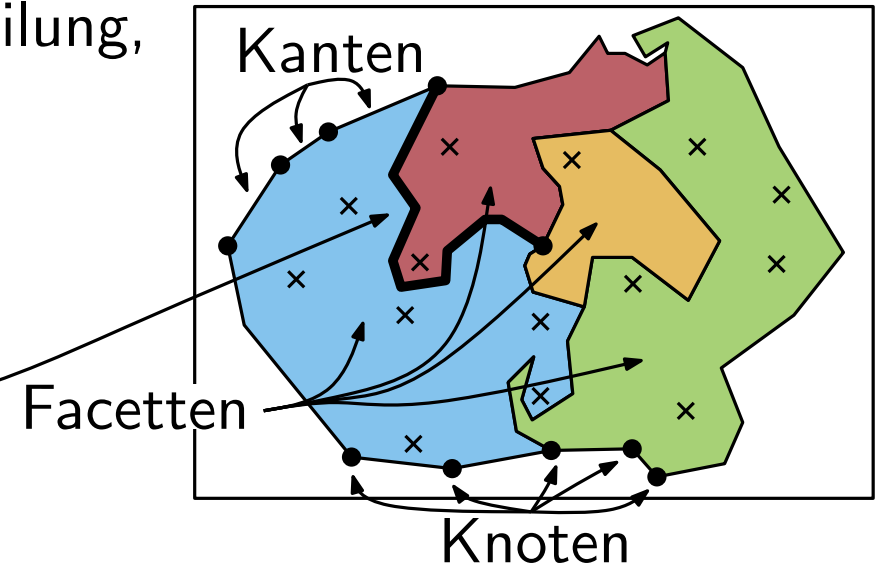






# Ein paar Begriffe

- Karte modelliert als Rechtecksunterteilung, d.h. als planarer Graph  
→ Knoten, Kanten, Facetten
- Knotengrade üblicherweise 2 oder 3
- maximale Pfade von Grad-2 Knoten bilden Kantenzüge
- zusätzlich Menge  $P$  von Punkten (x)



- Ziel:** ersetze alle Kantenzüge  $C$  durch vereinfachte Kantenzüge  $C'$  mit
- kein Punkt von  $C$  ist weiter als  $\varepsilon$  von  $C'$  entfernt
  - $C'$  ist einfach (d.h. schnittfrei)
  - $C'$  schneidet keinen weiteren Kantenzug
  - alle Punkte in  $P$  liegen auf den gleichen Seiten bzgl.  $C$  und  $C'$ , d.h. Punkte bleiben in den richtigen Facetten

→ solch ein  $C'$  heißt **konsistente** Vereinfachung von  $C$

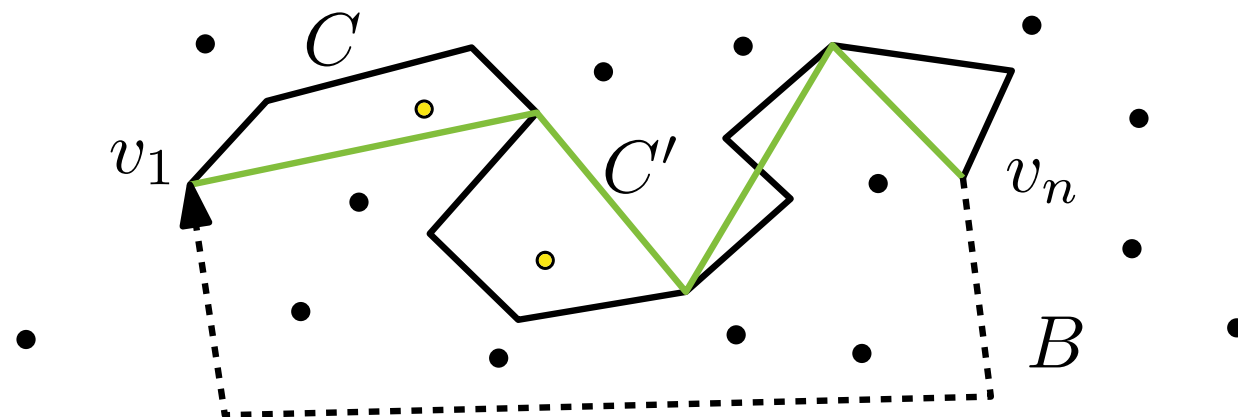
# Algorithmus von de Berg et al. (1998)

- Idee:**
- graphbasierter Algorithmus (Imai & Iri) als Grundlage
  - **zulässige** shortcuts bzgl. Fehler  $\varepsilon$  bilden  $G_1 = (V, A_1)$
  - **konsistente** shortcuts bzgl.  $P$  bilden  $G_2 = (V, A_2)$
  - kürzester Weg in Graph  $G = (V, A_1 \cap A_2)$  liefert optimale zulässige und konsistente Vereinfachung

# Algorithmus von de Berg et al. (1998)

- Idee:**
- graphbasierter Algorithmus (Imai & Iri) als Grundlage
  - **zulässige** shortcuts bzgl. Fehler  $\varepsilon$  bilden  $G_1 = (V, A_1)$
  - **konsistente** shortcuts bzgl.  $P$  bilden  $G_2 = (V, A_2)$
  - kürzester Weg in Graph  $G = (V, A_1 \cap A_2)$  liefert optimale zulässige und konsistente Vereinfachung

**Def:** Kantenzug  $C = (v_1, \dots, v_n)$  und Vereinfachung  $C'$  heißen **konsistent bzgl.  $P$** , wenn es Kantenzug  $B$  von  $v_n$  nach  $v_1$  gibt, der  $C$  und  $C'$  zu einfachen Polygonen abschließt, die die gleiche Teilmenge von  $P$  einschließen.



# Algorithmus von de Berg et al. (1998)

- Idee:**
- graphbasierter Algorithmus (Imai & Iri) als Grundlage
  - **zulässige** shortcuts bzgl. Fehler  $\varepsilon$  bilden  $G_1 = (V, A_1)$
  - **konsistente** shortcuts bzgl.  $P$  bilden  $G_2 = (V, A_2)$
  - kürzester Weg in Graph  $G = (V, A_1 \cap A_2)$  liefert optimale zulässige und konsistente Vereinfachung

**Def:** Kantenzug  $C = (v_1, \dots, v_n)$  und Vereinfachung  $C'$  heißen **konsistent bzgl.  $P$** , wenn es Kantenzug  $B$  von  $v_n$  nach  $v_1$  gibt, der  $C$  und  $C'$  zu einfachen Polygonen abschließt, die die gleiche Teilmenge von  $P$  einschließen.

Einschränkung:  $x$ -monotone Kantenzüge

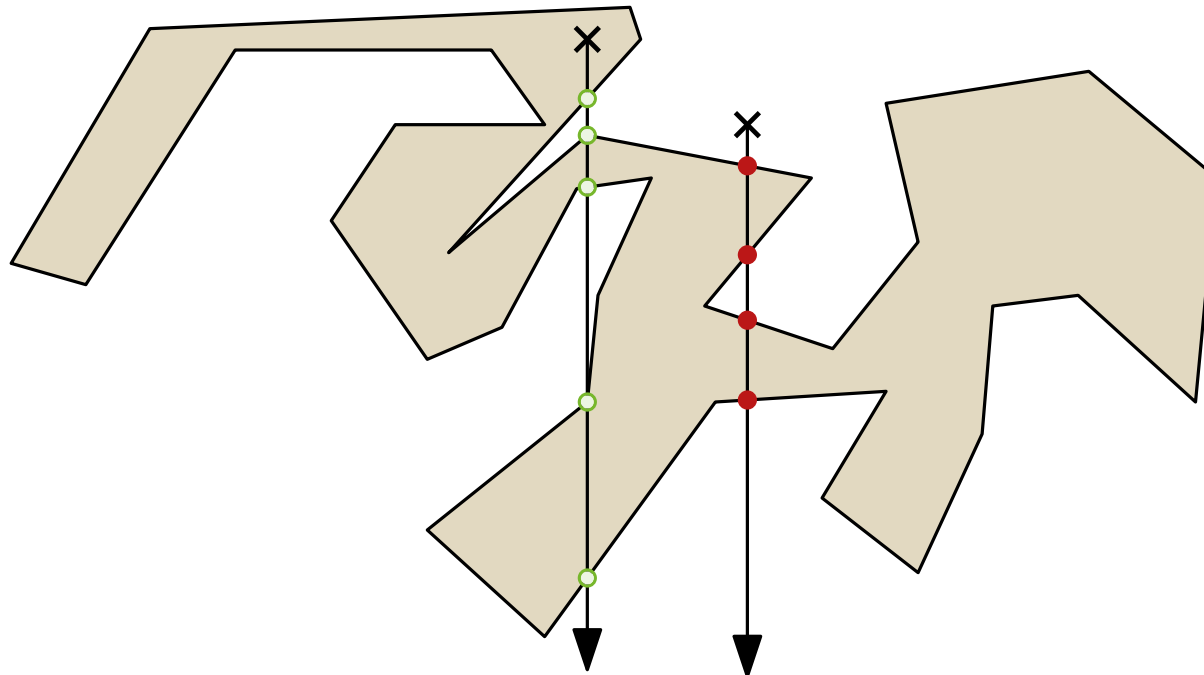
# $x$ -monotone Kantenzüge

**Lemma 1:**  $C'$  konsistente Vereinfachung von  $C$  bzgl.  $P \Leftrightarrow$   
kein Punkt von  $P$  liegt in Facette von „ $C \cup C'$ “

**Lemma 1:**  $C'$  konsistente Vereinfachung von  $C$  bzgl.  $P \Leftrightarrow$   
kein Punkt von  $P$  liegt in Facette von „ $C \cup C'$ “

## Punkt-in-Polygon-Kriterium (PIP)

Punkt  $p \in$  Polygon  $Q \Leftrightarrow$  (negativer vertikaler) Strahl schneidet  $Q$  ungerade oft



**Lemma 1:**  $C'$  konsistente Vereinfachung von  $C$  bzgl.  $P \Leftrightarrow$   
kein Punkt von  $P$  liegt in Facette von „ $C \cup C'$ “

**Bestimmung aller konsistenten shortcuts von  $v_i$**

- $C_{ij}$ : Kantenzug von  $v_i$  bis  $v_j$
- $Q_{ij}$ : Polygon  $C_{ij} \cup \overline{v_i v_j}$
- $(v_i, v_j) \in A \Leftrightarrow Q_{ij}$  enthält keine Punkte aus  $P$

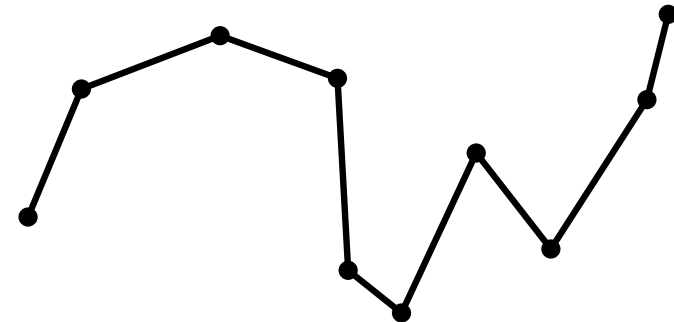
**Lemma 1:**  $C'$  konsistente Vereinfachung von  $C$  bzgl.  $P \Leftrightarrow$   
kein Punkt von  $P$  liegt in Facette von „ $C \cup C'$ “

## Bestimmung aller konsistenten shortcuts von $v_i$

- $C_{ij}$ : Kantenzug von  $v_i$  bis  $v_j$
- $Q_{ij}$ : Polygon  $C_{ij} \cup \overline{v_i v_j}$
- $(v_i, v_j) \in A \Leftrightarrow Q_{ij}$  enthält keine Punkte aus  $P$

## Vorgehen für festes $v_i$ in 3 Schritten

1. berechne Tangentensegmente und induzierte Unterteilung  $S_i$
2. verteile  $P$  auf Regionen von  $S_i$
3. berechne konsistente shortcuts





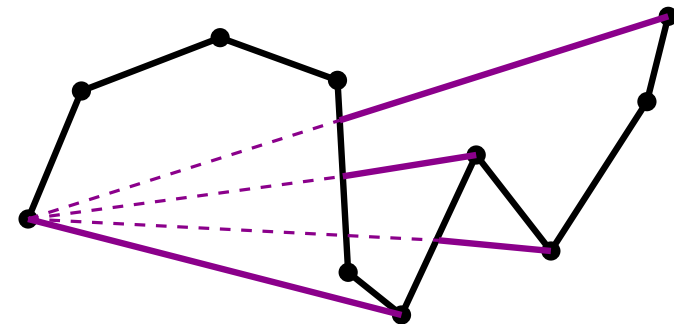
**Lemma 1:**  $C'$  konsistente Vereinfachung von  $C$  bzgl.  $P \Leftrightarrow$   
kein Punkt von  $P$  liegt in Facette von „ $C \cup C'$ “

## Bestimmung aller konsistenten shortcuts von $v_i$

- $C_{ij}$ : Kantenzug von  $v_i$  bis  $v_j$
- $Q_{ij}$ : Polygon  $C_{ij} \cup \overline{v_i v_j}$
- $(v_i, v_j) \in A \Leftrightarrow Q_{ij}$  enthält keine Punkte aus  $P$

## Vorgehen für festes $v_i$ in 3 Schritten

1. berechne Tangentensegmente und induzierte Unterteilung  $S_i$
2. verteile  $P$  auf Regionen von  $S_i$
3. berechne konsistente shortcuts



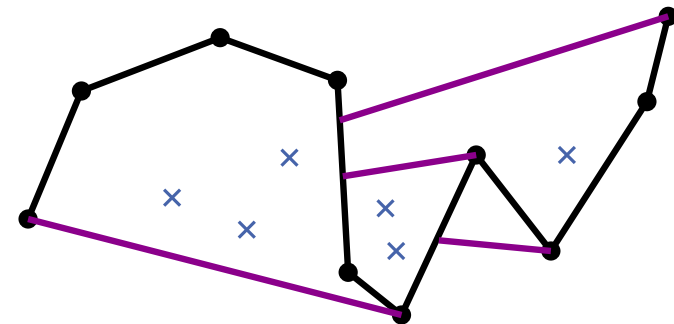
**Lemma 1:**  $C'$  konsistente Vereinfachung von  $C$  bzgl.  $P \Leftrightarrow$   
kein Punkt von  $P$  liegt in Facette von „ $C \cup C'$ “

## Bestimmung aller konsistenten shortcuts von $v_i$

- $C_{ij}$ : Kantenzug von  $v_i$  bis  $v_j$
- $Q_{ij}$ : Polygon  $C_{ij} \cup \overline{v_i v_j}$
- $(v_i, v_j) \in A \Leftrightarrow Q_{ij}$  enthält keine Punkte aus  $P$

## Vorgehen für festes $v_i$ in 3 Schritten

1. berechne Tangentensegmente und induzierte Unterteilung  $S_i$
2. verteile  $P$  auf Regionen von  $S_i$
3. berechne konsistente shortcuts



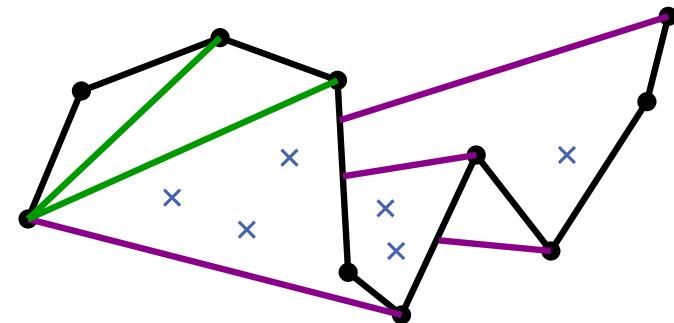
**Lemma 1:**  $C'$  konsistente Vereinfachung von  $C$  bzgl.  $P \Leftrightarrow$   
kein Punkt von  $P$  liegt in Facette von „ $C \cup C'$ “

## Bestimmung aller konsistenten shortcuts von $v_i$

- $C_{ij}$ : Kantenzug von  $v_i$  bis  $v_j$
- $Q_{ij}$ : Polygon  $C_{ij} \cup \overline{v_i v_j}$
- $(v_i, v_j) \in A \Leftrightarrow Q_{ij}$  enthält keine Punkte aus  $P$

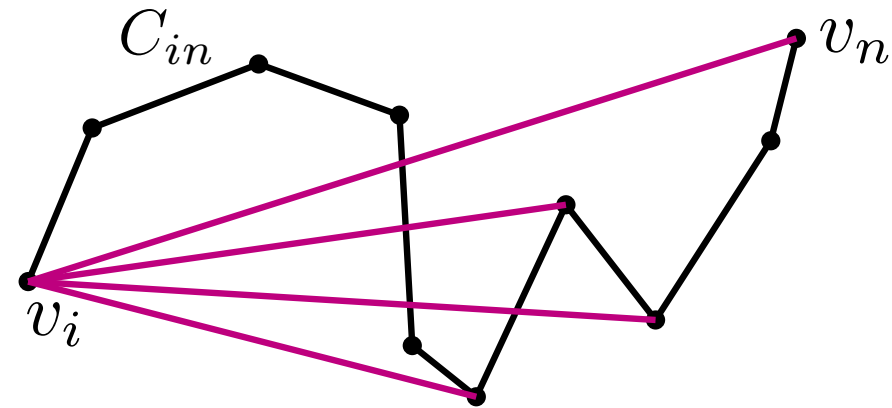
## Vorgehen für festes $v_i$ in 3 Schritten

1. berechne Tangentensegmente und induzierte Unterteilung  $S_i$
2. verteile  $P$  auf Regionen von  $S_i$
3. berechne konsistente shortcuts



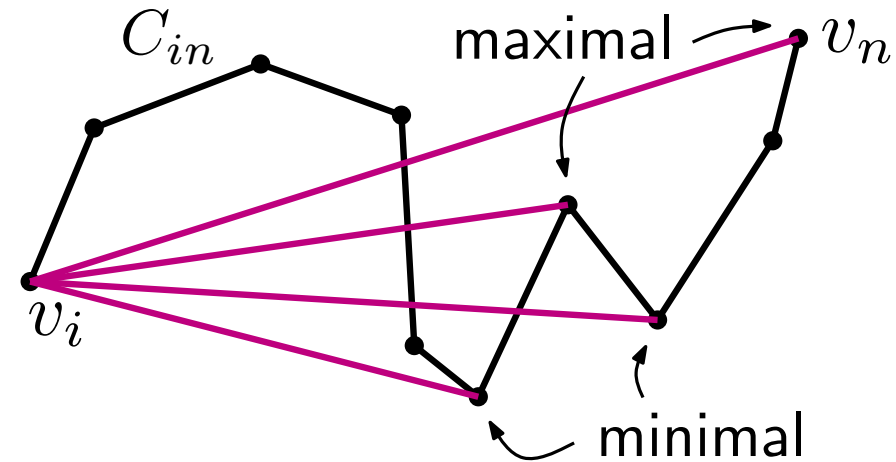
# 1) Tangentensegmente

- shortcut  $v_i v_j$  ist **Tangente** an  $C_{in}$ , wenn  $v_{j-1}$  und  $v_{j+1}$  auf gleicher Seite von  $v_i v_j$  liegen (oder  $j = n$ )



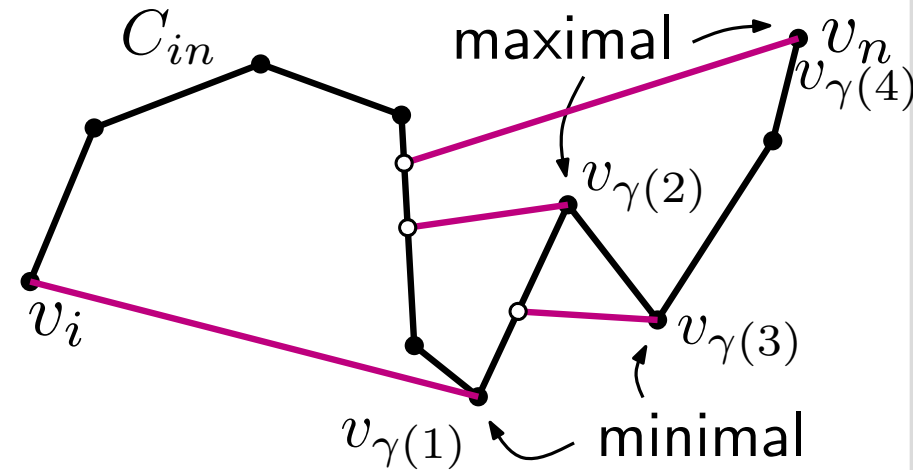
# 1) Tangentensegmente

- shortcut  $v_i v_j$  ist **Tangente** an  $C_{in}$ , wenn  $v_{j-1}$  und  $v_{j+1}$  auf gleicher Seite von  $v_i v_j$  liegen (oder  $j = n$ )
- Tangente ist **minimal/maximal**, wenn  $v_{j-1}$  oberhalb/unterhalb  $v_i v_j$



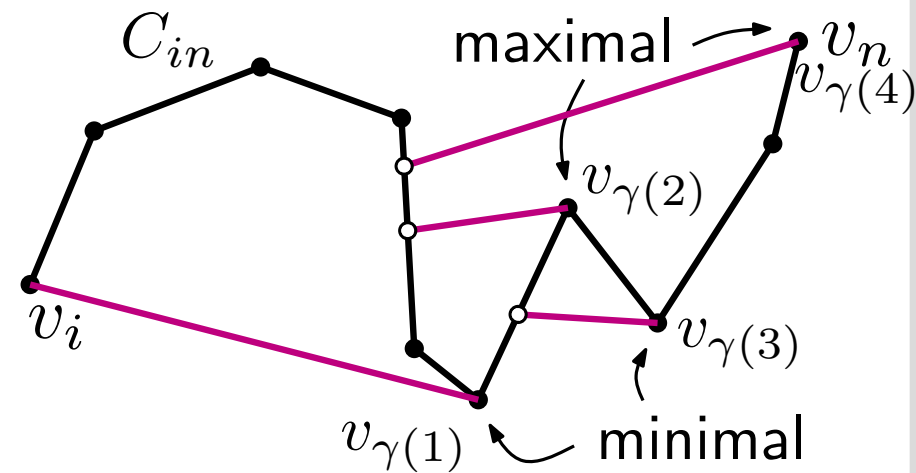
# 1) Tangentensegmente

- shortcut  $v_i v_j$  ist **Tangente** an  $C_{in}$ , wenn  $v_{j-1}$  und  $v_{j+1}$  auf gleicher Seite von  $v_i v_j$  liegen (oder  $j = n$ )
- Tangente ist **minimal/maximal**, wenn  $v_{j-1}$  oberhalb/unterhalb  $v_i v_j$
- **Tangentensegment**  $\overline{w_j v_j}$ , wobei  $w_j$  rechtester Punkt in  $C_{in} \cap \overline{v_i v_j}$
- Tangenten  $v_i v_{\gamma(1)}, \dots, v_i v_{\gamma(r)}$  definieren Unterteilung  $S_i$  mit  $r$  Facetten
- Knoten mit höchstem Index jeder Facette definiert Tangentensegment und Facettenindex



# 1) Tangentensegmente

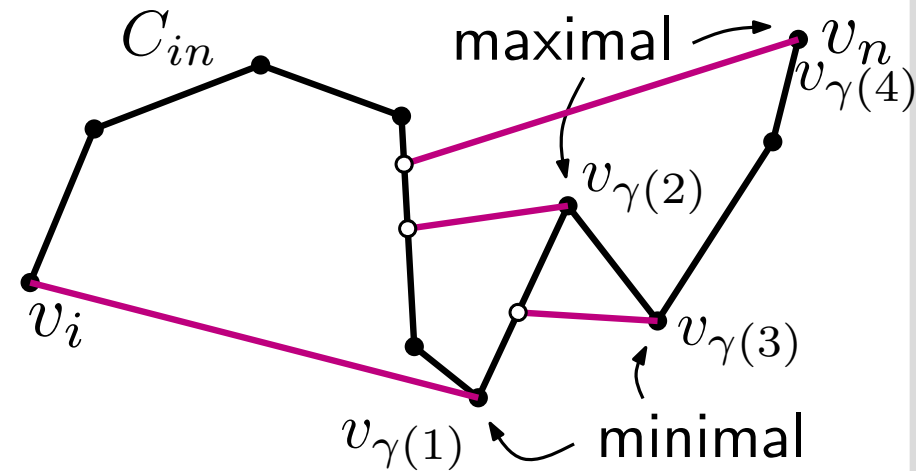
- shortcut  $v_i v_j$  ist **Tangente** an  $C_{in}$ , wenn  $v_{j-1}$  und  $v_{j+1}$  auf gleicher Seite von  $v_i v_j$  liegen (oder  $j = n$ )
- Tangente ist **minimal/maximal**, wenn  $v_{j-1}$  oberhalb/unterhalb  $v_i v_j$
- **Tangentensegment**  $\overline{w_j v_j}$ , wobei  $w_j$  rechtester Punkt in  $C_{in} \cap \overline{v_i v_j}$
- Tangenten  $v_i v_{\gamma(1)}, \dots, v_i v_{\gamma(r)}$  definieren Unterteilung  $S_i$  mit  $r$  Facetten
- Knoten mit höchstem Index jeder Facette definiert Tangentensegment und Facettenindex



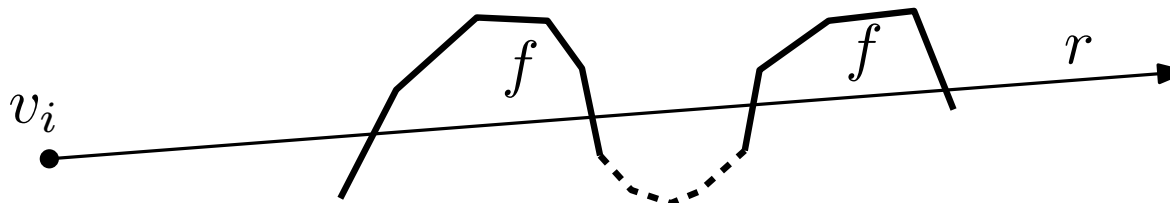
**Lemma 2:** Jede begrenzte Facette  $f$  von  $S_i$  ist  $\theta$ -**monoton** bzgl.  $v_i$ , d.h.  
 $|r \cap f| \in \{0, 1\}$  für jeden Strahl  $r$  von  $v_i$

# 1) Tangentensegmente

- shortcut  $v_i v_j$  ist **Tangente** an  $C_{in}$ , wenn  $v_{j-1}$  und  $v_{j+1}$  auf gleicher Seite von  $v_i v_j$  liegen (oder  $j = n$ )
- Tangente ist **minimal/maximal**, wenn  $v_{j-1}$  oberhalb/unterhalb  $v_i v_j$
- **Tangentensegment**  $\overline{w_j v_j}$ , wobei  $w_j$  rechtester Punkt in  $C_{in} \cap \overline{v_i v_j}$
- Tangenten  $v_i v_{\gamma(1)}, \dots, v_i v_{\gamma(r)}$  definieren Unterteilung  $S_i$  mit  $r$  Facetten
- Knoten mit höchstem Index jeder Facette definiert Tangentensegment und Facettenindex



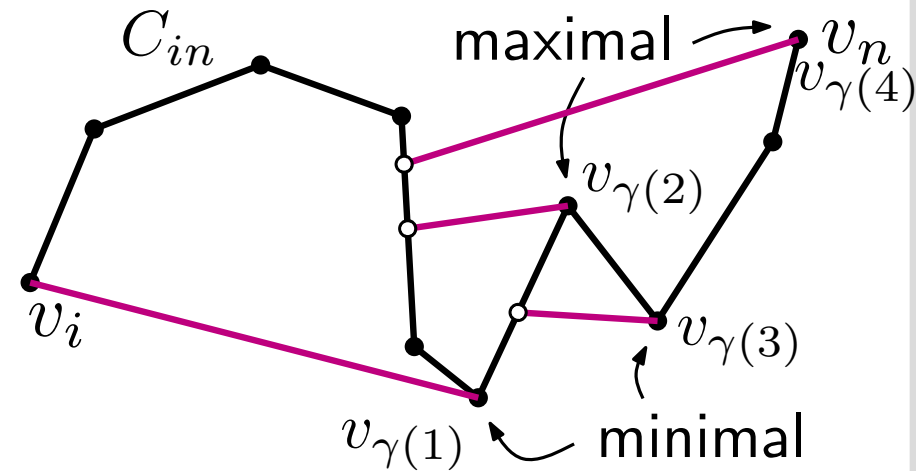
**Lemma 2:** Jede begrenzte Facette  $f$  von  $S_i$  ist  $\theta$ -**monoton** bzgl.  $v_i$ , d.h.  $|r \cap f| \in \{0, 1\}$  für jeden Strahl  $r$  von  $v_i$



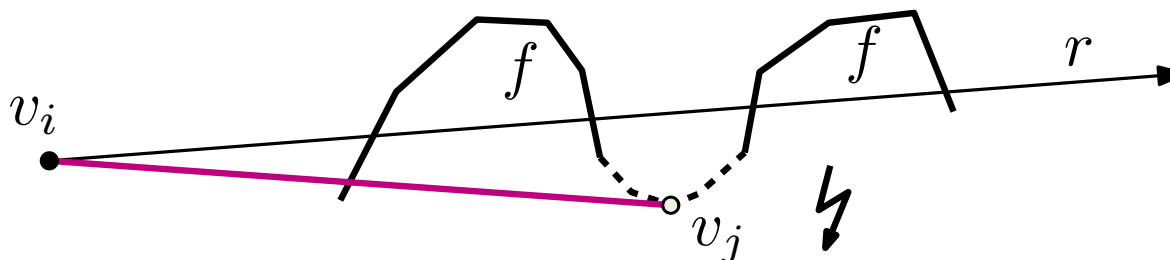


# 1) Tangentensegmente

- shortcut  $v_i v_j$  ist **Tangente** an  $C_{in}$ , wenn  $v_{j-1}$  und  $v_{j+1}$  auf gleicher Seite von  $v_i v_j$  liegen (oder  $j = n$ )
- Tangente ist **minimal/maximal**, wenn  $v_{j-1}$  oberhalb/unterhalb  $v_i v_j$
- **Tangentensegment**  $\overline{w_j v_j}$ , wobei  $w_j$  rechtester Punkt in  $C_{in} \cap \overline{v_i v_j}$
- Tangenten  $v_i v_{\gamma(1)}, \dots, v_i v_{\gamma(r)}$  definieren Unterteilung  $S_i$  mit  $r$  Facetten
- Knoten mit höchstem Index jeder Facette definiert Tangentensegment und Facettenindex

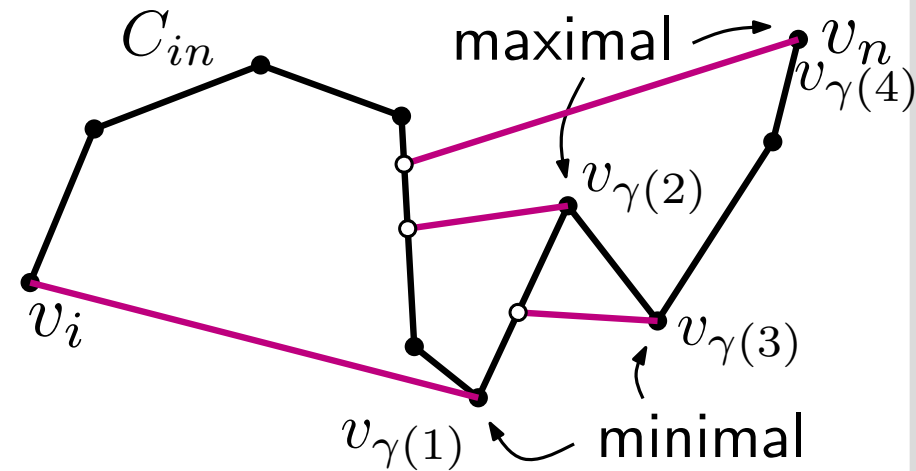


**Lemma 2:** Jede begrenzte Facette  $f$  von  $S_i$  ist  $\theta$ -**monoton** bzgl.  $v_i$ , d.h.  $|r \cap f| \in \{0, 1\}$  für jeden Strahl  $r$  von  $v_i$



# 1) Tangentensegmente

- shortcut  $v_i v_j$  ist **Tangente** an  $C_{in}$ , wenn  $v_{j-1}$  und  $v_{j+1}$  auf gleicher Seite von  $v_i v_j$  liegen (oder  $j = n$ )
- Tangente ist **minimal/maximal**, wenn  $v_{j-1}$  oberhalb/unterhalb  $v_i v_j$
- **Tangentensegment**  $\overline{w_j v_j}$ , wobei  $w_j$  rechtester Punkt in  $C_{in} \cap \overline{v_i v_j}$
- Tangenten  $v_i v_{\gamma(1)}, \dots, v_i v_{\gamma(r)}$  definieren Unterteilung  $S_i$  mit  $r$  Facetten
- Knoten mit höchstem Index jeder Facette definiert Tangentensegment und Facettenindex

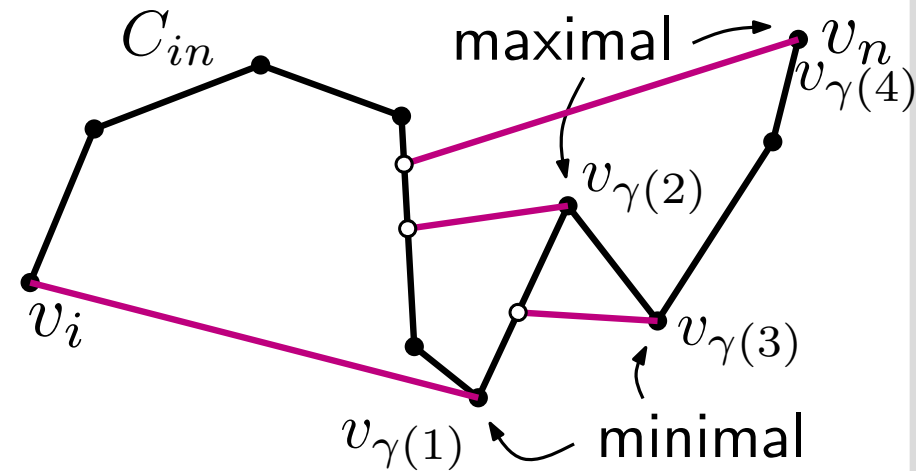


**Lemma 2:** Jede begrenzte Facette  $f$  von  $S_i$  ist  $\theta$ -**monoton** bzgl.  $v_i$ , d.h.  $|r \cap f| \in \{0, 1\}$  für jeden Strahl  $r$  von  $v_i$

**Lemma 3:** Jede begrenzte Facette  $f$  von  $S_i$  besitzt genau einen zshg. Kantenzug, über den Strahlen  $r$  von  $v_i$  Facette  $f$  verlassen

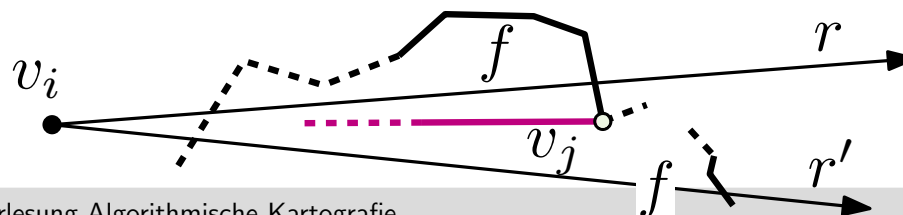
# 1) Tangentensegmente

- shortcut  $v_i v_j$  ist **Tangente** an  $C_{in}$ , wenn  $v_{j-1}$  und  $v_{j+1}$  auf gleicher Seite von  $v_i v_j$  liegen (oder  $j = n$ )
- Tangente ist **minimal/maximal**, wenn  $v_{j-1}$  oberhalb/unterhalb  $v_i v_j$
- **Tangentensegment**  $\overline{w_j v_j}$ , wobei  $w_j$  rechtester Punkt in  $C_{in} \cap \overline{v_i v_j}$
- Tangenten  $v_i v_{\gamma(1)}, \dots, v_i v_{\gamma(r)}$  definieren Unterteilung  $S_i$  mit  $r$  Facetten
- Knoten mit höchstem Index jeder Facette definiert Tangentensegment und Facettenindex



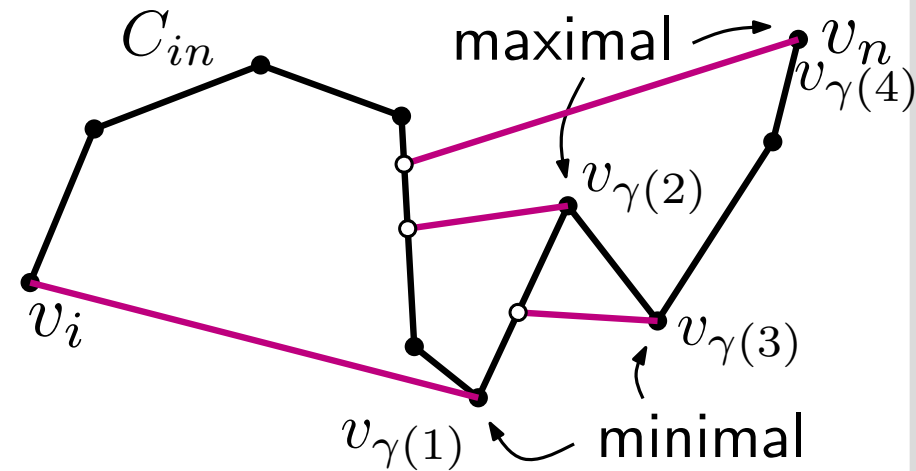
**Lemma 2:** Jede begrenzte Facette  $f$  von  $S_i$  ist  $\theta$ -**monoton** bzgl.  $v_i$ , d.h.  $|r \cap f| \in \{0, 1\}$  für jeden Strahl  $r$  von  $v_i$

**Lemma 3:** Jede begrenzte Facette  $f$  von  $S_i$  besitzt genau einen zshg. Kantenzug, über den Strahlen  $r$  von  $v_i$  Facette  $f$  verlassen



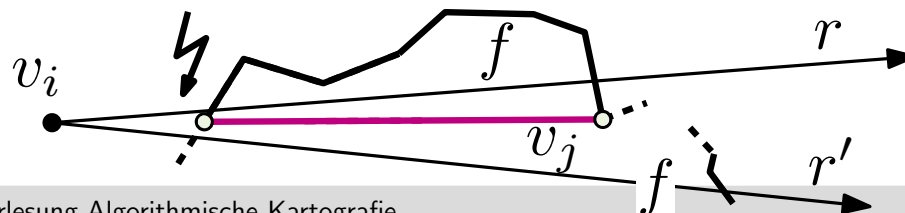
# 1) Tangentensegmente

- shortcut  $v_i v_j$  ist **Tangente** an  $C_{in}$ , wenn  $v_{j-1}$  und  $v_{j+1}$  auf gleicher Seite von  $v_i v_j$  liegen (oder  $j = n$ )
- Tangente ist **minimal/maximal**, wenn  $v_{j-1}$  oberhalb/unterhalb  $v_i v_j$
- **Tangentensegment**  $\overline{w_j v_j}$ , wobei  $w_j$  rechtester Punkt in  $C_{in} \cap \overline{v_i v_j}$
- Tangenten  $v_i v_{\gamma(1)}, \dots, v_i v_{\gamma(r)}$  definieren Unterteilung  $S_i$  mit  $r$  Facetten
- Knoten mit höchstem Index jeder Facette definiert Tangentensegment und Facettenindex



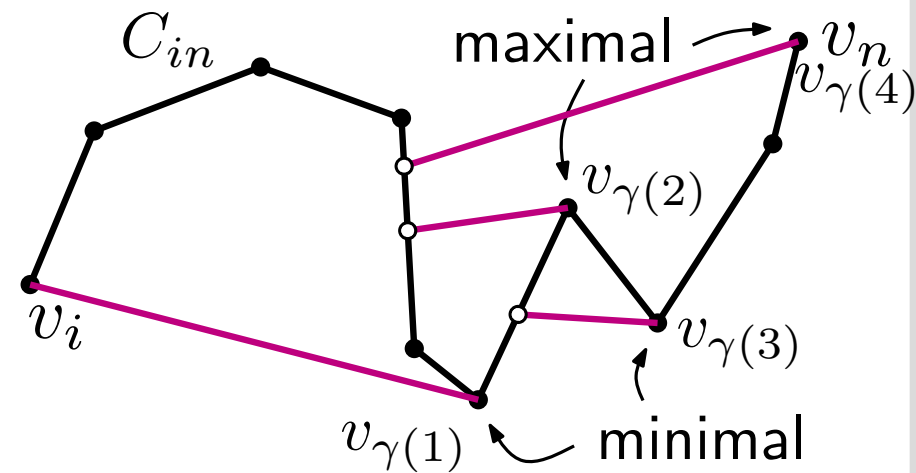
**Lemma 2:** Jede begrenzte Facette  $f$  von  $S_i$  ist  $\theta$ -**monoton** bzgl.  $v_i$ , d.h.  $|r \cap f| \in \{0, 1\}$  für jeden Strahl  $r$  von  $v_i$

**Lemma 3:** Jede begrenzte Facette  $f$  von  $S_i$  besitzt genau einen zshg. Kantenzug, über den Strahlen  $r$  von  $v_i$  Facette  $f$  verlassen



# 1) Tangentensegmente

- shortcut  $v_i v_j$  ist **Tangente** an  $C_{in}$ , wenn  $v_{j-1}$  und  $v_{j+1}$  auf gleicher Seite von  $v_i v_j$  liegen (oder  $j = n$ )
- Tangente ist **minimal/maximal**, wenn  $v_{j-1}$  oberhalb/unterhalb  $v_i v_j$
- **Tangentensegment**  $\overline{w_j v_j}$ , wobei  $w_j$  rechtester Punkt in  $C_{in} \cap \overline{v_i v_j}$
- Tangenten  $v_i v_{\gamma(1)}, \dots, v_i v_{\gamma(r)}$  definieren Unterteilung  $S_i$  mit  $r$  Facetten
- Knoten mit höchstem Index jeder Facette definiert Tangentensegment und Facettenindex



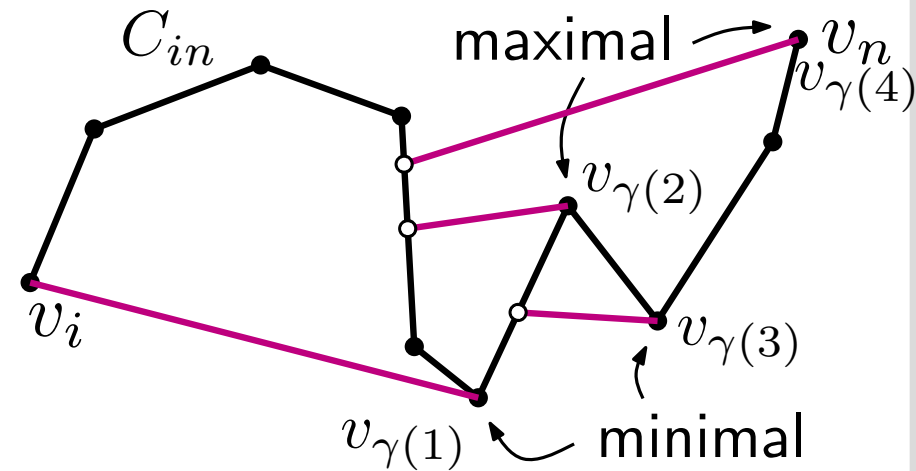
**Lemma 2:** Jede begrenzte Facette  $f$  von  $S_i$  ist  $\theta$ -**monoton** bzgl.  $v_i$ , d.h.  $|r \cap f| \in \{0, 1\}$  für jeden Strahl  $r$  von  $v_i$

**Lemma 3:** Jede begrenzte Facette  $f$  von  $S_i$  besitzt genau einen zshg. Kantenzug, über den Strahlen  $r$  von  $v_i$  Facette  $f$  verlassen

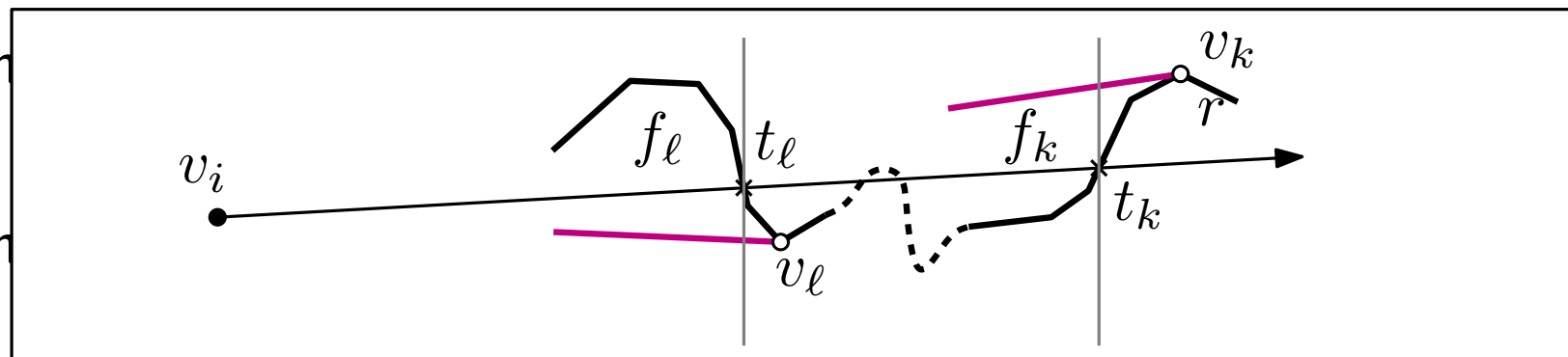
**Lemma 4:** Jeder Strahl von  $v_i$  schneidet die Facetten von  $S_i$  in aufsteigender Reihenfolge

# 1) Tangentensegmente

- shortcut  $v_i v_j$  ist **Tangente** an  $C_{in}$ , wenn  $v_{j-1}$  und  $v_{j+1}$  auf gleicher Seite von  $v_i v_j$  liegen (oder  $j = n$ )
- Tangente ist **minimal/maximal**, wenn  $v_{j-1}$  oberhalb/unterhalb  $v_i v_j$
- **Tangentensegment**  $\overline{w_j v_j}$ , wobei  $w_j$  rechtester Punkt in  $C_{in} \cap \overline{v_i v_j}$
- Tangenten  $v_i v_{\gamma(1)}, \dots, v_i v_{\gamma(r)}$  definieren Unterteilung  $S_i$  mit  $r$  Facetten
- Knoten mit höchstem Index jeder Facette definiert Tangentensegment und Facettenindex



Lemm



$v_i$ , d.h.

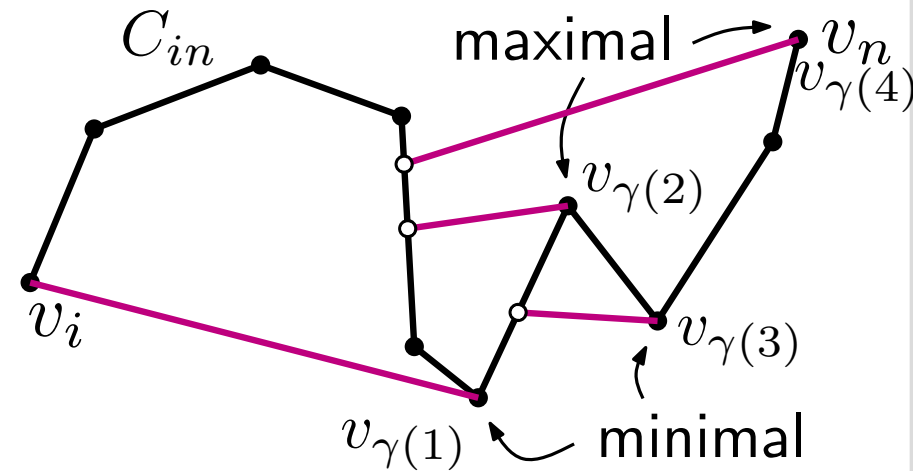
Lemm

shg.  
ssen

**Lemma 4:** Jeder Strahl von  $v_i$  schneidet die Facetten von  $S_i$  in aufsteigender Reihenfolge

# 1) Tangentensegmente

- shortcut  $v_i v_j$  ist **Tangente** an  $C_{in}$ , wenn  $v_{j-1}$  und  $v_{j+1}$  auf gleicher Seite von  $v_i v_j$  liegen (oder  $j = n$ )
- Tangente ist **minimal/maximal**, wenn  $v_{j-1}$  oberhalb/unterhalb  $v_i v_j$
- **Tangentensegment**  $\overline{w_j v_j}$ , wobei  $w_j$  rechtester Punkt in  $C_{in} \cap \overline{v_i v_j}$
- Tangenten  $v_i v_{\gamma(1)}, \dots, v_i v_{\gamma(r)}$  definieren Unterteilung  $S_i$  mit  $r$  Facetten
- Knoten mit höchstem Index jeder Facette definiert Tangentensegment und Facettenindex



**Lemma 2:** Jede begrenzte Facette  $f$  von  $S_i$  ist  $\theta$ -**monoton** bzgl.  $v_i$ , d.h.  $|r \cap f| \in \{0, 1\}$  für jeden Strahl  $r$  von  $v_i$

**Lemma 3:** Jede begrenzte Facette  $f$  von  $S_i$  besitzt genau einen zshg. Kantenzug, über den Strahlen  $r$  von  $v_i$  Facette  $f$  verlassen

**Lemma 4:** Jeder Strahl von  $v_i$  schneidet die Facetten von  $S_i$  in aufsteigender Reihenfolge

# 1) Tangentensegmente: Algorithmus

Tangentensegmente( $C, i$ )

**Input:** Kantenzug  $C = (v_1, \dots, v_n)$ , Index  $1 \leq i \leq n$

**Output:** Tangentensegmente bzgl.  $v_i$

**for**  $j = i + 1, \dots, n$  **do**

**if**  $v_i v_j$  maximale Tangente **then**

$k \leftarrow j - 1$

**while**  $v_i v_j \cap \overline{v_{k-1} v_k} = \emptyset$  **do**

$k \leftarrow k - 1$

$w_j \leftarrow v_i v_j \cap \overline{v_{k-1} v_k}$

**else if**  $v_i v_j$  minimale Tangente **then**

        ...

/\* analoges Vorgehen \*/



# 1) Tangentensegmente: Algorithmus

Tangentensegmente( $C, i$ )

**Input:** Kantenzug  $C = (v_1, \dots, v_n)$ , Index  $1 \leq i \leq n$

**Output:** Tangentensegmente bzgl.  $v_i$

**for**  $j = i + 1, \dots, n$  **do**

**if**  $v_i v_j$  maximale Tangente **then**

$k \leftarrow j - 1$

**while**  $v_i v_j \cap \overline{v_{k-1} v_k} = \emptyset$  **do**

$k \leftarrow k - 1$

$w_j \leftarrow v_i v_j \cap \overline{v_{k-1} v_k}$

**else if**  $v_i v_j$  minimale Tangente **then**

        ...

/\* analoges Vorgehen \*/

Laufzeit?

# 1) Tangentensegmente: Algorithmus

Tangentensegmente( $C, i$ )

**Input:** Kantenzug  $C = (v_1, \dots, v_n)$ , Index  $1 \leq i \leq n$

**Output:** Tangentensegmente bzgl.  $v_i$

**for**  $j = i + 1, \dots, n$  **do**

**if**  $v_i v_j$  maximale Tangente **then**

$k \leftarrow j - 1$

**while**  $v_i v_j \cap \overline{v_{k-1} v_k} = \emptyset$  **do**

$k \leftarrow k - 1$

**if**  $v_i v_k$  maximale Tangente **then**

$k \leftarrow h$ , wobei  $v_{h-1} v_h$  Punkt  $w_k$  enthält

$w_j \leftarrow v_i v_j \cap \overline{v_{k-1} v_k}$

**else if**  $v_i v_j$  minimale Tangente **then**

        ...

        /\* analoges Vorgehen \*/

Laufzeit?

# 1) Tangentensegmente: Algorithmus

Tangentensegmente( $C, i$ )

**Input:** Kantenzug  $C = (v_1, \dots, v_n)$ , Index  $1 \leq i \leq n$

**Output:** Tangentensegmente bzgl.  $v_i$

**for**  $j = i + 1, \dots, n$  **do**

**if**  $v_i v_j$  maximale Tangente **then**

$k \leftarrow j - 1$

**while**  $v_i v_j \cap \overline{v_{k-1} v_k} = \emptyset$  **do**

$k \leftarrow k - 1$

**if**  $v_i v_k$  maximale Tangente **then**

$k \leftarrow h$ , wobei  $v_{h-1} v_h$  Punkt  $w_k$  enthält

$w_j \leftarrow v_i v_j \cap \overline{v_{k-1} v_k}$

**else if**  $v_i v_j$  minimale Tangente **then**

        ...

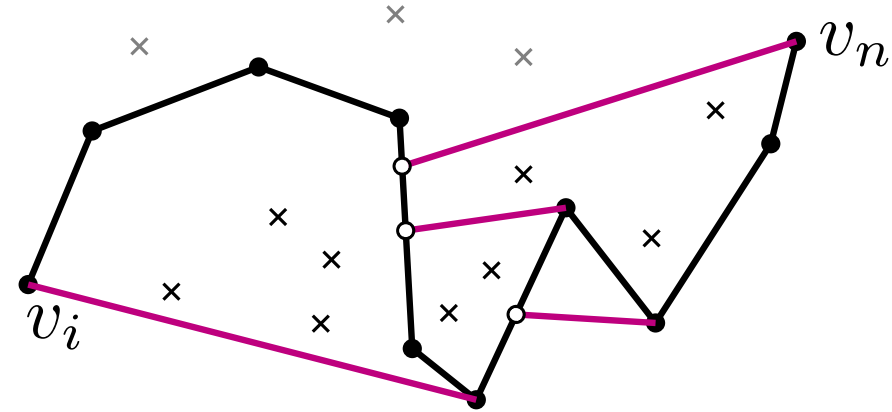
        /\* analoges Vorgehen \*/

Laufzeit?

→ Tangentensegmente( $C, i$ ) benötigt  $O(n)$  Zeit

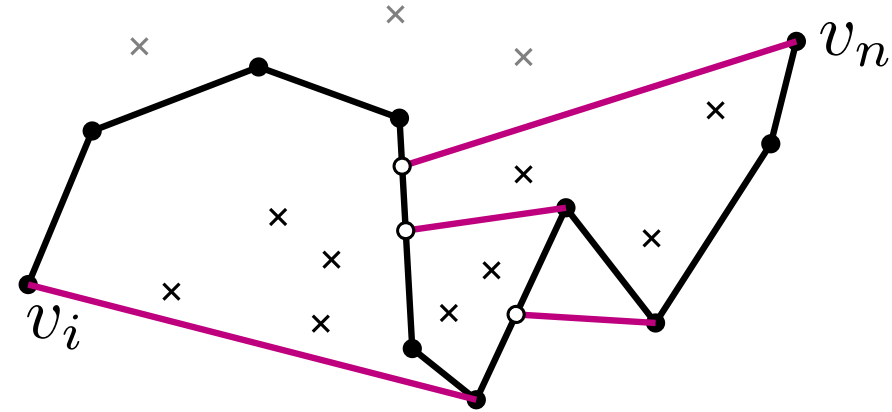
## 2) Punktzuweisung

- Punkte in äußerer Facette irrelevant
- weise Punkte in  $P$  Facetten von  $S_i$  zu



## 2) Punktzuweisung

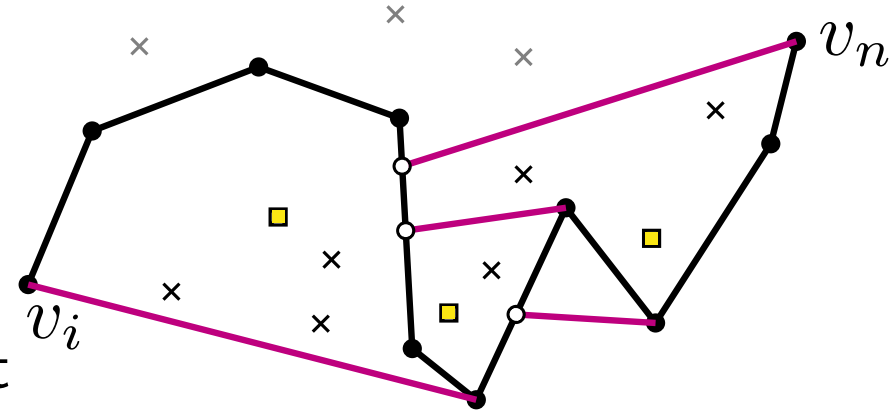
- Punkte in äußerer Facette irrelevant
- weise Punkte in  $P$  Facetten von  $S_i$  zu



Sind alle verbleibenden Punkte nötig?

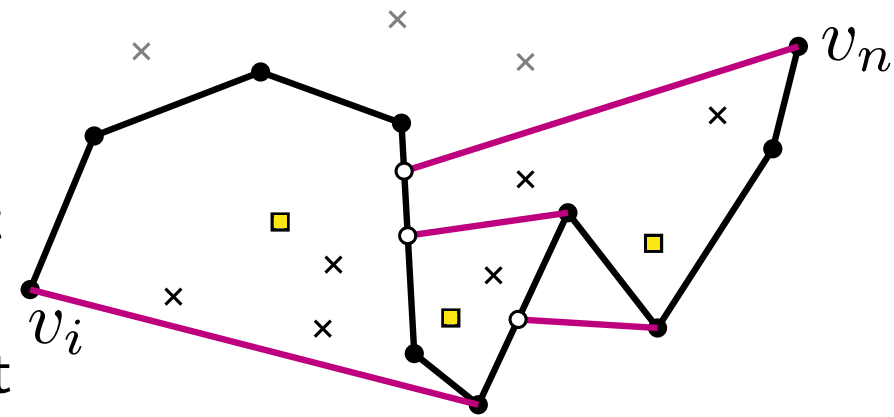
## 2) Punktzuweisung

- Punkte in äußerer Facette irrelevant
  - weise Punkte in  $P$  Facetten von  $S_i$  zu
  - für minimale Facette  $f$ , behalte Punkt  $p_f$  mit maximaler Steigung von  $v_i p_f$
  - für maximale Facette  $f$ , behalte Punkt  $p_f$  mit minimaler Steigung von  $v_i p_f$
- verbleibende Punktmenge  $P' \subseteq P$



## 2) Punktzuweisung

- Punkte in äußerer Facette irrelevant
  - weise Punkte in  $P$  Facetten von  $S_i$  zu
  - für minimale Facette  $f$ , behalte Punkt  $p_f$  mit maximaler Steigung von  $v_i p_f$
  - für maximale Facette  $f$ , behalte Punkt  $p_f$  mit minimaler Steigung von  $v_i p_f$
- verbleibende Punktmenge  $P' \subseteq P$



**Lemma 5:** Ein shortcut  $v_i v_j$  ist konsistent für  $C_{ij}$  und  $P$  gdw. er konsistent für  $P'$  ist.

## 2) Punktzuweisung: Algorithmus

Punktzuweisung( $S_i, i, P$ )

**Input:** Unterteilung  $S_i$ , Index  $1 \leq i \leq n$ , Punktmenge  $P = \{p_1, \dots, p_m\}$

**Output:** Punkt  $p_f$  für jede Facette  $f$

$P' \leftarrow$  Punkte aus  $P$  rechts von  $v_i$

priority queue  $Q \leftarrow P' \cup \{v_{i+1}, \dots, v_n\}$  sortiert nach Winkel bzgl.  $v_i$

$T \leftarrow$  leerer binärer Suchbaum für radialen Sweep

**while**  $Q$  nicht leer **do**

$p \leftarrow Q.\text{extractMax}$

**if**  $p$  Knoten von  $C_{in}$  **then**

        | update  $T$  mit Kanten von  $p$

**else**

$e \leftarrow$  linkeste Kante  $v_k v_{k+1}$  in  $T$  rechts von  $p$  auf sweep line

        speichere  $p$  an  $e$

gehe über alle Kanten von  $C_{in}$  und weise Facetten  $f$   
maximalen/minimalen Punkt  $p_f$  zu



## 2) Punktzuweisung: Algorithmus

Punktzuweisung( $S_i, i, P$ )

**Input:** Unterteilung  $S_i$ , Index  $1 \leq i \leq n$ , Punktmenge  $P = \{p_1, \dots, p_m\}$

**Output:** Punkt  $p_f$  für jede Facette  $f$

$P' \leftarrow$  Punkte aus  $P$  rechts von  $v_i$

priority queue  $Q \leftarrow P' \cup \{v_{i+1}, \dots, v_n\}$  sortiert nach Winkel bzgl.  $v_i$

$T \leftarrow$  leerer binärer Suchbaum für radialen Sweep

**while**  $Q$  nicht leer **do**

$p \leftarrow Q.\text{extractMax}$

**if**  $p$  Knoten von  $C_{in}$  **then**

        | update  $T$  mit Kanten von  $p$

**else**

        |  $e \leftarrow$  linkeste Kante  $v_k v_{k+1}$  in  $T$  rechts von  $p$  auf sweep line

        | speichere  $p$  an  $e$

gehe über alle Kanten von  $C_{in}$  und weise Facetten  $f$   
maximalen/minimalen Punkt  $p_f$  zu

**Laufzeit**  $O((n + m) \log(n + m))$

## 2) Punktzuweisung: Algorithmus

Punktzuweisung( $S_i, i, P$ )

**Input:** Unterteilung  $S_i$ , Index  $1 \leq i \leq n$ , Punktmenge  $P = \{p_1, \dots, p_m\}$

**Output:** Punkt  $p_f$  für jede Facette  $f$

$P' \leftarrow$  Punkte aus  $P$  rechts von  $v_i$

priority queue  $Q \leftarrow P' \cup \{v_{i+1}, \dots, v_n\}$  sortiert nach Winkel bzgl.  $v_i$

$T \leftarrow$  leerer binärer Suchbaum für radialen Sweep

**while**  $Q$  nicht leer **do**

$p \leftarrow Q.\text{extractMax}$

**if**  $p$  Knoten von  $C_{in}$  **then**

        | update  $T$  mit Kanten von  $p$


**else**

$e \leftarrow$  linkeste Kante  $v_k v_{k+1}$  in  $T$  rechts von  $p$  auf sweep line

        speichere  $p$  an  $e$

gehe über alle Kanten von  $C_{in}$  und weise Facetten  $f$

maximalen/minimalen Punkt  $p_f$  zu

**Laufzeit**  $O((n + m) \log(n + m))$   **später**

### 3) Konsistenzberechnung

**Input:** Unterteilung  $S_i$  mit Facetten  $f_1, \dots, f_k$ , Punkt  $p_r \in P \cup \{\perp\}$   
für jede Facette  $f_r$ , Knoten  $v_i$

**Output:** Menge  $A$  aller konsistenten shortcuts von  $v_i$

$Q \leftarrow$  double-ended queue für shortcuts  $v_i v_j$  absteigend sortiert nach  
Steigung mit Pointern zw.  $v_i v_j$  und  $v_j$

$j \leftarrow i + 1$

**for**  $h = 1, \dots, k$  **do**

**if**  $p_h \neq \perp$  **then**

**if**  $f_h$  maximale Facette **then**

            entferne shortcuts vom Anfang von  $Q$

            solange Steigung größer als  $v_i p_h$

**else**

            entferne shortcuts vom Ende von  $Q$

            solange Steigung kleiner als  $v_i p_h$

**while**  $v_j \neq v_{\gamma(h)}$  **do**

**if**  $v_i v_j \in Q$  **then**  $A.add(v_i v_j); Q.remove(v_i v_j)$

$j \leftarrow j + 1$

### 3) Konsistenzberechnung

**Input:** Unterteilung  $S_i$  mit Facetten  $f_1, \dots, f_k$ , Punkt  $p_r \in P \cup \{\perp\}$   
für jede Facette  $f_r$ , Knoten  $v_i$

**Output:** Menge  $A$  aller konsistenten shortcuts von  $v_i$

$Q \leftarrow$  double-ended queue für shortcuts  $v_i v_j$  absteigend sortiert nach Steigung mit Pointern zw.  $v_i v_j$  und  $v_j$

$j \leftarrow i + 1$

**for**  $h = 1, \dots, k$  **do**

**if**  $p_h \neq \perp$  **then**

**if**  $f_h$  maximale Facette **then**

            entferne shortcuts vom Anfang von  $Q$

            solange Steigung größer als  $v_i p_h$

**else**

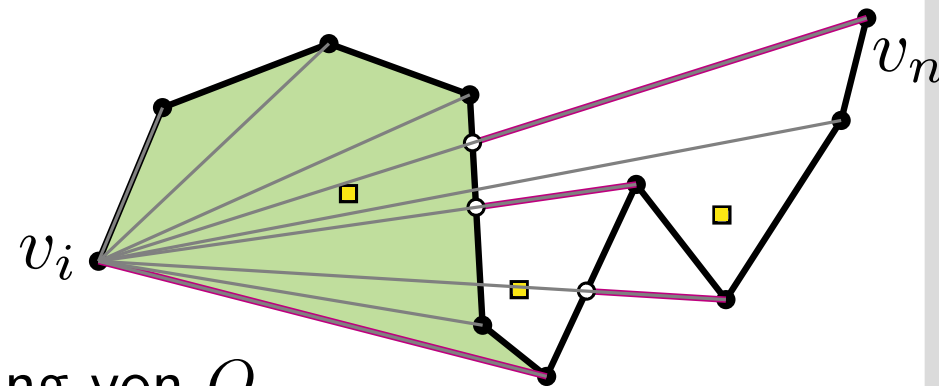
            entferne shortcuts vom Ende von  $Q$

            solange Steigung kleiner als  $v_i p_h$

**while**  $v_j \neq v_{\gamma(h)}$  **do**

**if**  $v_i v_j \in Q$  **then**  $A.add(v_i v_j); Q.remove(v_i v_j)$

$j \leftarrow j + 1$



### 3) Konsistenzberechnung

**Input:** Unterteilung  $S_i$  mit Facetten  $f_1, \dots, f_k$ , Punkt  $p_r \in P \cup \{\perp\}$   
für jede Facette  $f_r$ , Knoten  $v_i$

**Output:** Menge  $A$  aller konsistenten shortcuts von  $v_i$

$Q \leftarrow$  double-ended queue für shortcuts  $v_i v_j$  absteigend sortiert nach Steigung mit Pointern zw.  $v_i v_j$  und  $v_j$

$j \leftarrow i + 1$

**for**  $h = 1, \dots, k$  **do**

**if**  $p_h \neq \perp$  **then**

**if**  $f_h$  maximale Facette **then**

            entferne shortcuts vom Anfang von  $Q$

            solange Steigung größer als  $v_i p_h$

**else**

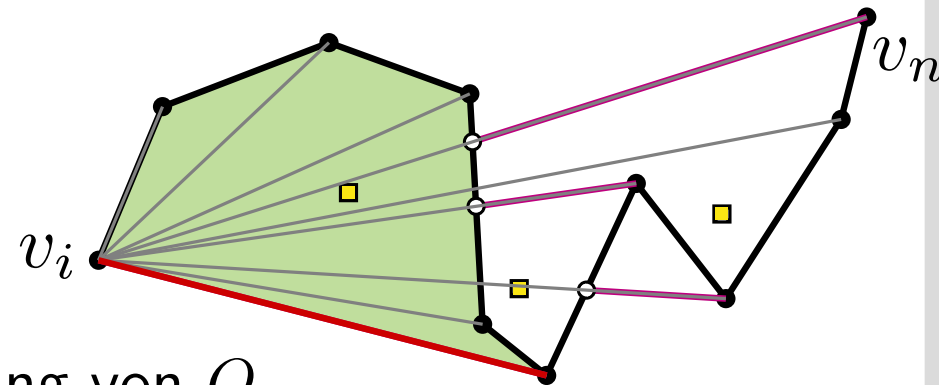
            entferne shortcuts vom Ende von  $Q$

            solange Steigung kleiner als  $v_i p_h$

**while**  $v_j \neq v_{\gamma(h)}$  **do**

**if**  $v_i v_j \in Q$  **then**  $A.add(v_i v_j); Q.remove(v_i v_j)$

$j \leftarrow j + 1$



### 3) Konsistenzberechnung

**Input:** Unterteilung  $S_i$  mit Facetten  $f_1, \dots, f_k$ , Punkt  $p_r \in P \cup \{\perp\}$   
für jede Facette  $f_r$ , Knoten  $v_i$

**Output:** Menge  $A$  aller konsistenten shortcuts von  $v_i$

$Q \leftarrow$  double-ended queue für shortcuts  $v_i v_j$  absteigend sortiert nach Steigung mit Pointern zw.  $v_i v_j$  und  $v_j$

$j \leftarrow i + 1$

**for**  $h = 1, \dots, k$  **do**

**if**  $p_h \neq \perp$  **then**

**if**  $f_h$  maximale Facette **then**

            entferne shortcuts vom Anfang von  $Q$

            solange Steigung größer als  $v_i p_h$

**else**

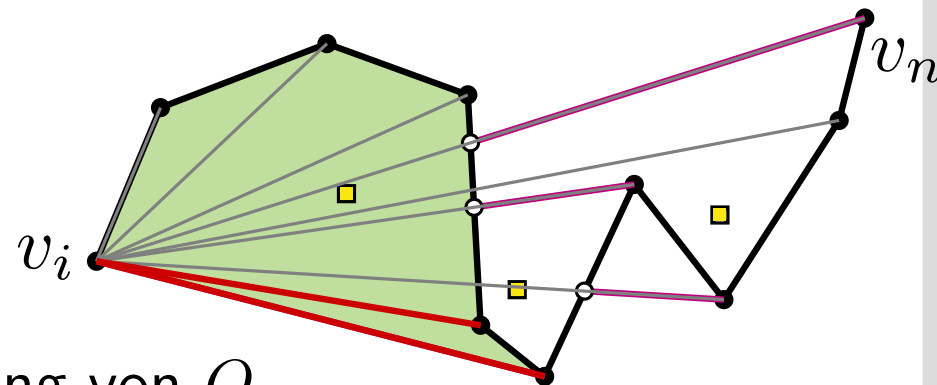
            entferne shortcuts vom Ende von  $Q$

            solange Steigung kleiner als  $v_i p_h$

**while**  $v_j \neq v_{\gamma(h)}$  **do**

**if**  $v_i v_j \in Q$  **then**  $A.add(v_i v_j); Q.remove(v_i v_j)$

$j \leftarrow j + 1$



### 3) Konsistenzberechnung

**Input:** Unterteilung  $S_i$  mit Facetten  $f_1, \dots, f_k$ , Punkt  $p_r \in P \cup \{\perp\}$   
für jede Facette  $f_r$ , Knoten  $v_i$

**Output:** Menge  $A$  aller konsistenten shortcuts von  $v_i$

$Q \leftarrow$  double-ended queue für shortcuts  $v_i v_j$  absteigend sortiert nach Steigung mit Pointern zw.  $v_i v_j$  und  $v_j$

$j \leftarrow i + 1$

**for**  $h = 1, \dots, k$  **do**

**if**  $p_h \neq \perp$  **then**

**if**  $f_h$  maximale Facette **then**

            entferne shortcuts vom Anfang von  $Q$

            solange Steigung größer als  $v_i p_h$

**else**

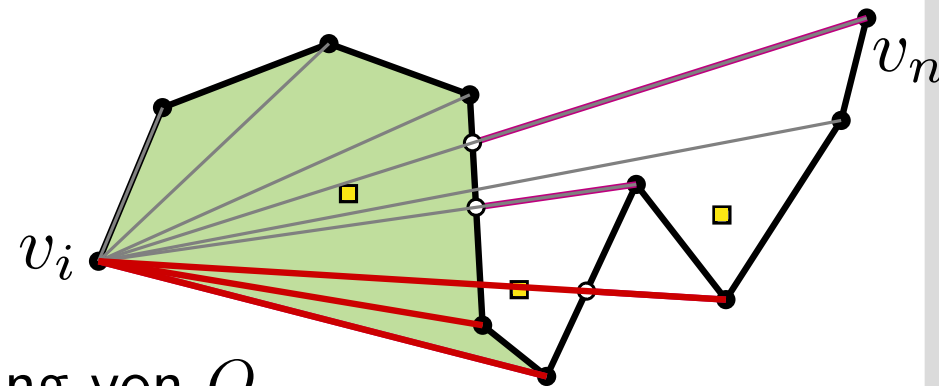
            entferne shortcuts vom Ende von  $Q$

            solange Steigung kleiner als  $v_i p_h$

**while**  $v_j \neq v_{\gamma(h)}$  **do**

**if**  $v_i v_j \in Q$  **then**  $A.add(v_i v_j); Q.remove(v_i v_j)$

$j \leftarrow j + 1$



### 3) Konsistenzberechnung

**Input:** Unterteilung  $S_i$  mit Facetten  $f_1, \dots, f_k$ , Punkt  $p_r \in P \cup \{\perp\}$   
für jede Facette  $f_r$ , Knoten  $v_i$

**Output:** Menge  $A$  aller konsistenten shortcuts von  $v_i$

$Q \leftarrow$  double-ended queue für shortcuts  $v_i v_j$  absteigend sortiert nach Steigung mit Pointern zw.  $v_i v_j$  und  $v_j$

$j \leftarrow i + 1$

**for**  $h = 1, \dots, k$  **do**

**if**  $p_h \neq \perp$  **then**

**if**  $f_h$  maximale Facette **then**

            entferne shortcuts vom Anfang von  $Q$

            solange Steigung größer als  $v_i p_h$

**else**

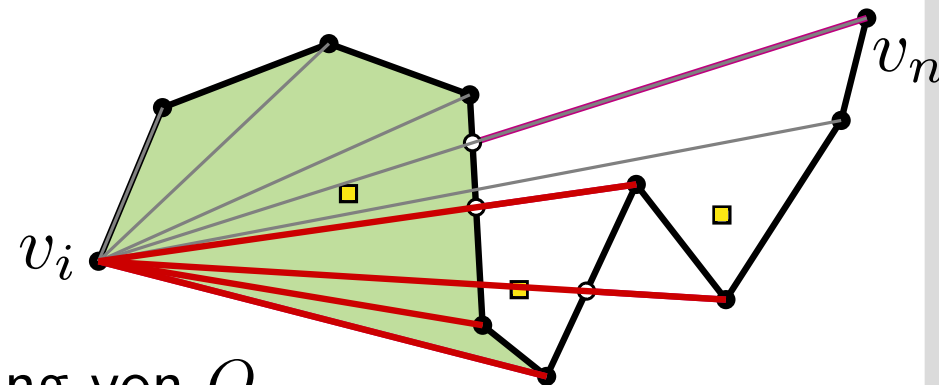
            entferne shortcuts vom Ende von  $Q$

            solange Steigung kleiner als  $v_i p_h$

**while**  $v_j \neq v_{\gamma(h)}$  **do**

**if**  $v_i v_j \in Q$  **then**  $A.add(v_i v_j); Q.remove(v_i v_j)$

$j \leftarrow j + 1$





### 3) Konsistenzberechnung

**Input:** Unterteilung  $S_i$  mit Facetten  $f_1, \dots, f_k$ , Punkt  $p_r \in P \cup \{\perp\}$   
für jede Facette  $f_r$ , Knoten  $v_i$

**Output:** Menge  $A$  aller konsistenten shortcuts von  $v_i$

$Q \leftarrow$  double-ended queue für shortcuts  $v_i v_j$  absteigend sortiert nach Steigung mit Pointern zw.  $v_i v_j$  und  $v_j$

$j \leftarrow i + 1$

**for**  $h = 1, \dots, k$  **do**

**if**  $p_h \neq \perp$  **then**

**if**  $f_h$  maximale Facette **then**

            entferne shortcuts vom Anfang von  $Q$

            solange Steigung größer als  $v_i p_h$

**else**

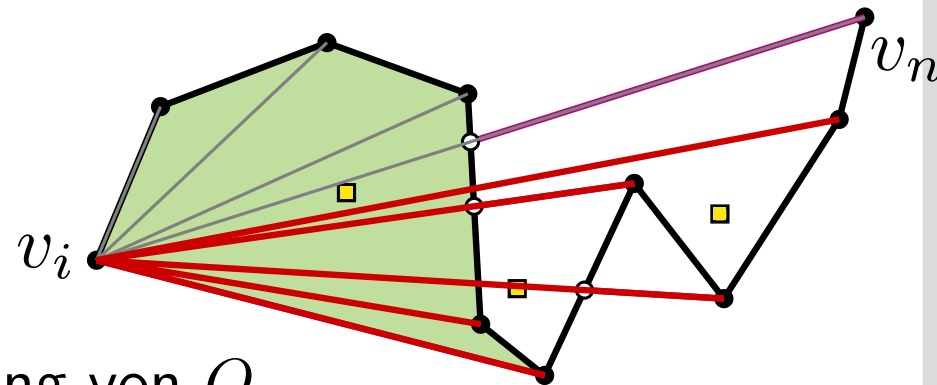
            entferne shortcuts vom Ende von  $Q$

            solange Steigung kleiner als  $v_i p_h$

**while**  $v_j \neq v_{\gamma(h)}$  **do**

**if**  $v_i v_j \in Q$  **then**  $A.add(v_i v_j); Q.remove(v_i v_j)$

$j \leftarrow j + 1$



### 3) Konsistenzberechnung

**Input:** Unterteilung  $S_i$  mit Facetten  $f_1, \dots, f_k$ , Punkt  $p_r \in P \cup \{\perp\}$   
für jede Facette  $f_r$ , Knoten  $v_i$

**Output:** Menge  $A$  aller konsistenten shortcuts von  $v_i$

$Q \leftarrow$  double-ended queue für shortcuts  $v_i v_j$  absteigend sortiert nach Steigung mit Pointern zw.  $v_i v_j$  und  $v_j$

$j \leftarrow i + 1$

**for**  $h = 1, \dots, k$  **do**

**if**  $p_h \neq \perp$  **then**

**if**  $f_h$  maximale Facette **then**

            entferne shortcuts vom Anfang von  $Q$

            solange Steigung größer als  $v_i p_h$

**else**

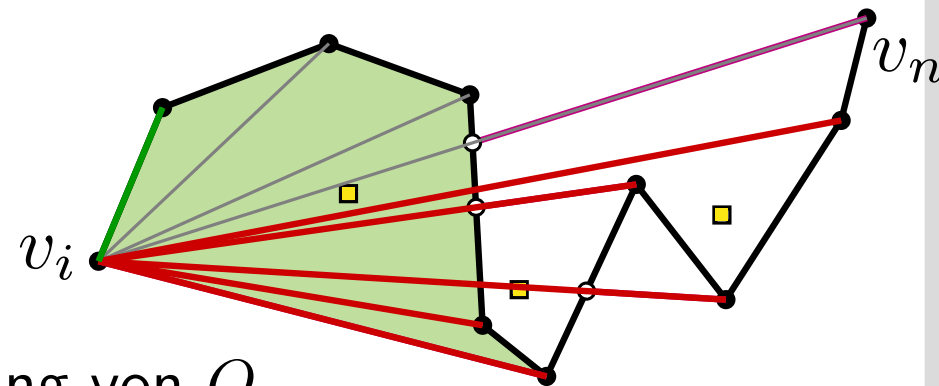
            entferne shortcuts vom Ende von  $Q$

            solange Steigung kleiner als  $v_i p_h$

**while**  $v_j \neq v_{\gamma(h)}$  **do**

**if**  $v_i v_j \in Q$  **then**  $A.add(v_i v_j); Q.remove(v_i v_j)$

$j \leftarrow j + 1$



### 3) Konsistenzberechnung

**Input:** Unterteilung  $S_i$  mit Facetten  $f_1, \dots, f_k$ , Punkt  $p_r \in P \cup \{\perp\}$   
für jede Facette  $f_r$ , Knoten  $v_i$

**Output:** Menge  $A$  aller konsistenten shortcuts von  $v_i$

$Q \leftarrow$  double-ended queue für shortcuts  $v_i v_j$  absteigend sortiert nach Steigung mit Pointern zw.  $v_i v_j$  und  $v_j$

$j \leftarrow i + 1$

**for**  $h = 1, \dots, k$  **do**

**if**  $p_h \neq \perp$  **then**

**if**  $f_h$  maximale Facette **then**

            entferne shortcuts vom Anfang von  $Q$

            solange Steigung größer als  $v_i p_h$

**else**

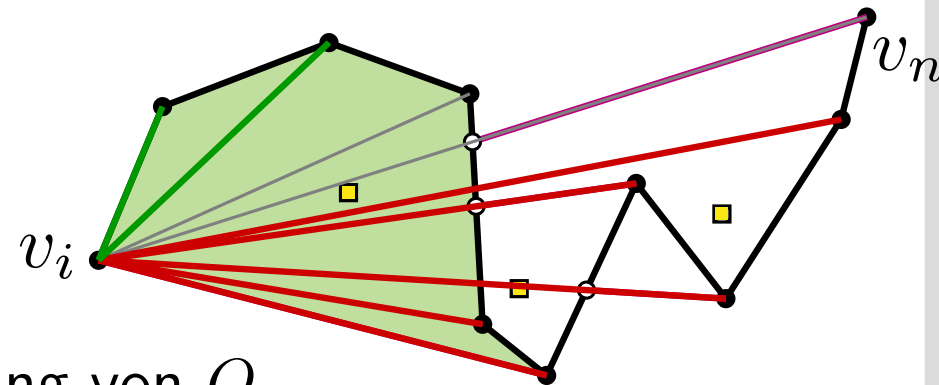
            entferne shortcuts vom Ende von  $Q$

            solange Steigung kleiner als  $v_i p_h$

**while**  $v_j \neq v_{\gamma(h)}$  **do**

**if**  $v_i v_j \in Q$  **then**  $A.add(v_i v_j); Q.remove(v_i v_j)$

$j \leftarrow j + 1$



### 3) Konsistenzberechnung

**Input:** Unterteilung  $S_i$  mit Facetten  $f_1, \dots, f_k$ , Punkt  $p_r \in P \cup \{\perp\}$   
für jede Facette  $f_r$ , Knoten  $v_i$

**Output:** Menge  $A$  aller konsistenten shortcuts von  $v_i$

$Q \leftarrow$  double-ended queue für shortcuts  $v_i v_j$  absteigend sortiert nach Steigung mit Pointern zw.  $v_i v_j$  und  $v_j$

$j \leftarrow i + 1$

**for**  $h = 1, \dots, k$  **do**

**if**  $p_h \neq \perp$  **then**

**if**  $f_h$  maximale Facette **then**

            entferne shortcuts vom Anfang von  $Q$

            solange Steigung größer als  $v_i p_h$

**else**

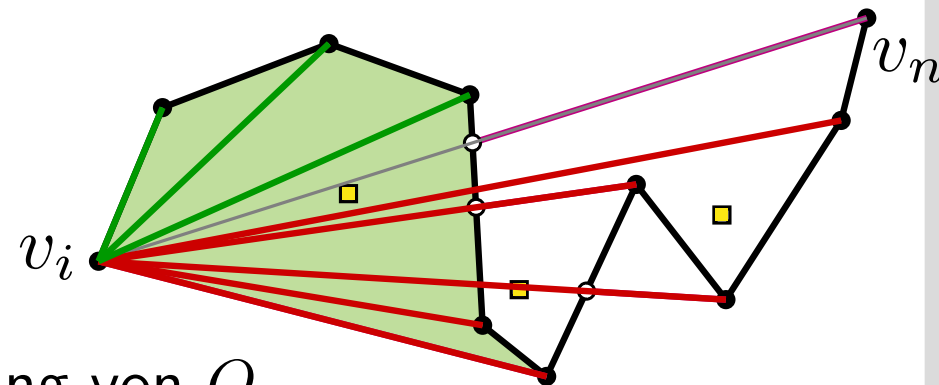
            entferne shortcuts vom Ende von  $Q$

            solange Steigung kleiner als  $v_i p_h$

**while**  $v_j \neq v_{\gamma(h)}$  **do**

**if**  $v_i v_j \in Q$  **then**  $A.add(v_i v_j); Q.remove(v_i v_j)$

$j \leftarrow j + 1$



### 3) Konsistenzberechnung

**Input:** Unterteilung  $S_i$  mit Facetten  $f_1, \dots, f_k$ , Punkt  $p_r \in P \cup \{\perp\}$   
für jede Facette  $f_r$ , Knoten  $v_i$

**Output:** Menge  $A$  aller konsistenten shortcuts von  $v_i$

$Q \leftarrow$  double-ended queue für shortcuts  $v_i v_j$  absteigend sortiert nach  
Steigung mit Pointern zw.  $v_i v_j$  und  $v_j$

$j \leftarrow i + 1$

**for**  $h = 1, \dots, k$  **do**

**if**  $p_h \neq \perp$  **then**

**if**  $f_h$  maximale Facette **then**

            entferne shortcuts vom Anfang von  $Q$

            solange Steigung größer als  $v_i p_h$

**else**

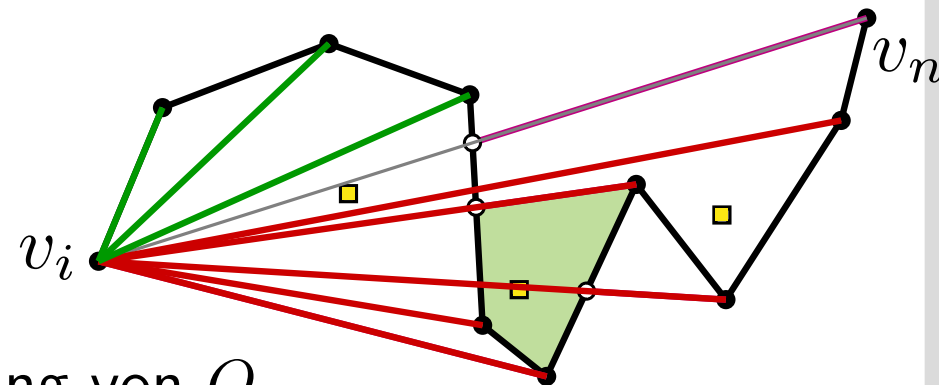
            entferne shortcuts vom Ende von  $Q$

            solange Steigung kleiner als  $v_i p_h$

**while**  $v_j \neq v_{\gamma(h)}$  **do**

**if**  $v_i v_j \in Q$  **then**  $A.add(v_i v_j); Q.remove(v_i v_j)$

$j \leftarrow j + 1$



### 3) Konsistenzberechnung

**Input:** Unterteilung  $S_i$  mit Facetten  $f_1, \dots, f_k$ , Punkt  $p_r \in P \cup \{\perp\}$   
für jede Facette  $f_r$ , Knoten  $v_i$

**Output:** Menge  $A$  aller konsistenten shortcuts von  $v_i$

$Q \leftarrow$  double-ended queue für shortcuts  $v_i v_j$  absteigend sortiert nach Steigung mit Pointern zw.  $v_i v_j$  und  $v_j$

$j \leftarrow i + 1$

**for**  $h = 1, \dots, k$  **do**

**if**  $p_h \neq \perp$  **then**

**if**  $f_h$  maximale Facette **then**

            entferne shortcuts vom Anfang von  $Q$

            solange Steigung größer als  $v_i p_h$

**else**

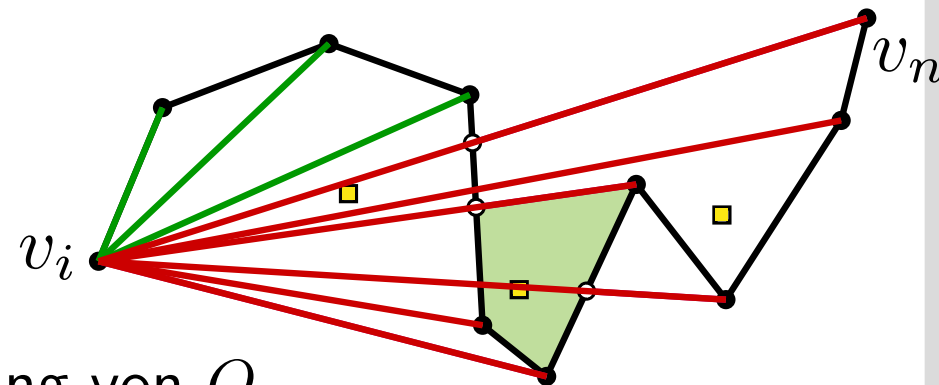
            entferne shortcuts vom Ende von  $Q$

            solange Steigung kleiner als  $v_i p_h$

**while**  $v_j \neq v_{\gamma(h)}$  **do**

**if**  $v_i v_j \in Q$  **then**  $A.add(v_i v_j); Q.remove(v_i v_j)$

$j \leftarrow j + 1$



### 3) Konsistenzberechnung

**Input:** Unterteilung  $S_i$  mit Facetten  $f_1, \dots, f_k$ , Punkt  $p_r \in P \cup \{\perp\}$

**Output:** Menge  $Q$  aller konsistenten shortcuts von  $v_i$  nach Steigung mit Pointern zw.  $v_i v_j$  und  $v_j$

**Lemma 6:** Die Berechnung der shortcuts in  $A$  ist korrekt und benötigt  $O(n \log n)$  Zeit.

$j \leftarrow i + 1$

**for**  $h = 1, \dots, k$  **do**

**if**  $p_h \neq \perp$  **then**

**if**  $f_h$  maximale Facette **then**

entferne shortcuts vom Anfang von  $Q$

solange Steigung größer als  $v_i p_h$

**else**

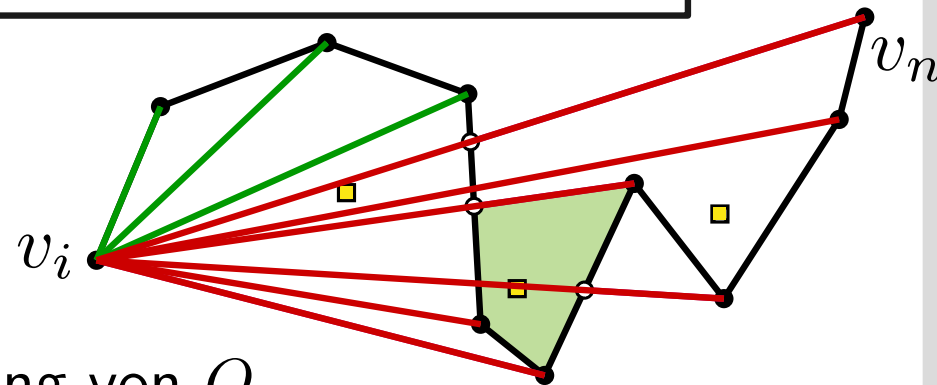
entferne shortcuts vom Ende von  $Q$

solange Steigung kleiner als  $v_i p_h$

**while**  $v_j \neq v_{\gamma(h)}$  **do**

**if**  $v_i v_j \in Q$  **then**  $A.add(v_i v_j); Q.remove(v_i v_j)$

$j \leftarrow j + 1$



**Lemma 7:** Für  $x$ -monotonen Kantenzug  $C$  mit  $n$  Knoten und Menge  $P$  von  $m$  Punkten können alle konsistenten shortcuts für einen Knoten  $v$  von  $C$  in Zeit  $O((n + m) \log n)$  berechnet werden.



**Lemma 7:** Für  $x$ -monotonen Kantenzug  $C$  mit  $n$  Knoten und Menge  $P$  von  $m$  Punkten können alle konsistenten shortcuts für einen Knoten  $v$  von  $C$  in Zeit  $O((n + m) \log n)$  berechnet werden.

## Beweisskizze:

- Schritt 1: Tangentensegmente berechnen  $O(n)$
- Schritt 2: Punktzuweisung  $O((n + m) \log n)$
- Schritt 3: Konsistenzberechnung  $O(n \log n)$

**Lemma 7:** Für  $x$ -monotonen Kantenzug  $C$  mit  $n$  Knoten und Menge  $P$  von  $m$  Punkten können alle konsistenten shortcuts für einen Knoten  $v$  von  $C$  in Zeit  $O((n + m) \log n)$  berechnet werden.

**Satz 2:** Für  $x$ -monotonen Kantenzug  $C$  mit  $n$  Knoten, Menge  $P$  von  $m$  Punkten und Fehlerschranke  $\varepsilon$  kann die kleinste konsistente Vereinfachung  $C'$  mit Fehler  $\leq \varepsilon$  in Zeit  $O(n(n + m) \log n)$  berechnet werden.

**Lemma 7:** Für  $x$ -monotonen Kantenzug  $C$  mit  $n$  Knoten und Menge  $P$  von  $m$  Punkten können alle konsistenten shortcuts für einen Knoten  $v$  von  $C$  in Zeit  $O((n + m) \log n)$  berechnet werden.

**Satz 2:** Für  $x$ -monotonen Kantenzug  $C$  mit  $n$  Knoten, Menge  $P$  von  $m$  Punkten und Fehlerschranke  $\varepsilon$  kann die kleinste konsistente Vereinfachung  $C'$  mit Fehler  $\leq \varepsilon$  in Zeit  $O(n(n + m) \log n)$  berechnet werden.

## Beweisskizze:

- Graph  $G_1 = (V, A_1)$  mit Algorithmus von Imai/Iri  $O(n^2)$
- Graph  $G_2 = (V, A_2) \leftarrow n$ -fache Anwendung von Lemma 7
- Graph  $G = (V, A_1 \cap A_2)$  bilden  $O(n^2)$   $O(n(n + m) \log n)$
- kürzesten  $v_1 v_n$ -Pfad in  $G$  suchen  $O(n^2)$

# Übungen

- 1) Zeigen Sie, dass die Methode *Punktzuweisung* die Laufzeit  $O((n + m) \log n)$  zulässt.
- 2) Überlegen Sie sich basierend auf geometrischen Beobachtungen ein Beschleunigungsverfahren, mit dessen Hilfe die Punktmenge  $P$  für die Vereinfachung eines Polygonzugs  $C$  sinnvoll eingeschränkt werden kann.
- 3) Überlegen Sie sich eine Heuristik, mit deren Hilfe die Konsistenzberechnung von shortcuts im Gesamtalgorithmus beschleunigt werden kann.

# Zusammenfassung Linienvereinfachung

- typische Qualitätskriterien: Abstandsmaß, Anzahl Segmente

- typische Qualitätskriterien: Abstandsmaß, Anzahl Segmente
- einfache Greedy-Algorithmen
- Douglas-Peucker Algorithmus (und Beschleunigung)
- Dreiecksbasiertes Verfahren von Visvalingam/Whyatt
- exakte Optimierung als kürzeste-Wege-Problem in Graphen
- topologisch konsistente Vereinfachung von de Berg et al.

- typische Qualitätskriterien: Abstandsmaß, Anzahl Segmente
- einfache Greedy-Algorithmen
- Douglas-Peucker Algorithmus (und Beschleunigung)
- Dreiecksbasiertes Verfahren von Visvalingam/Whyatt
- exakte Optimierung als kürzeste-Wege-Problem in Graphen
- topologisch konsistente Vereinfachung von de Berg et al.
- de Berg et al. (1998) stellen noch weitere Anpassungen für einige praktisch relevante Fälle vor (z.B. nicht  $x$ -monoton)

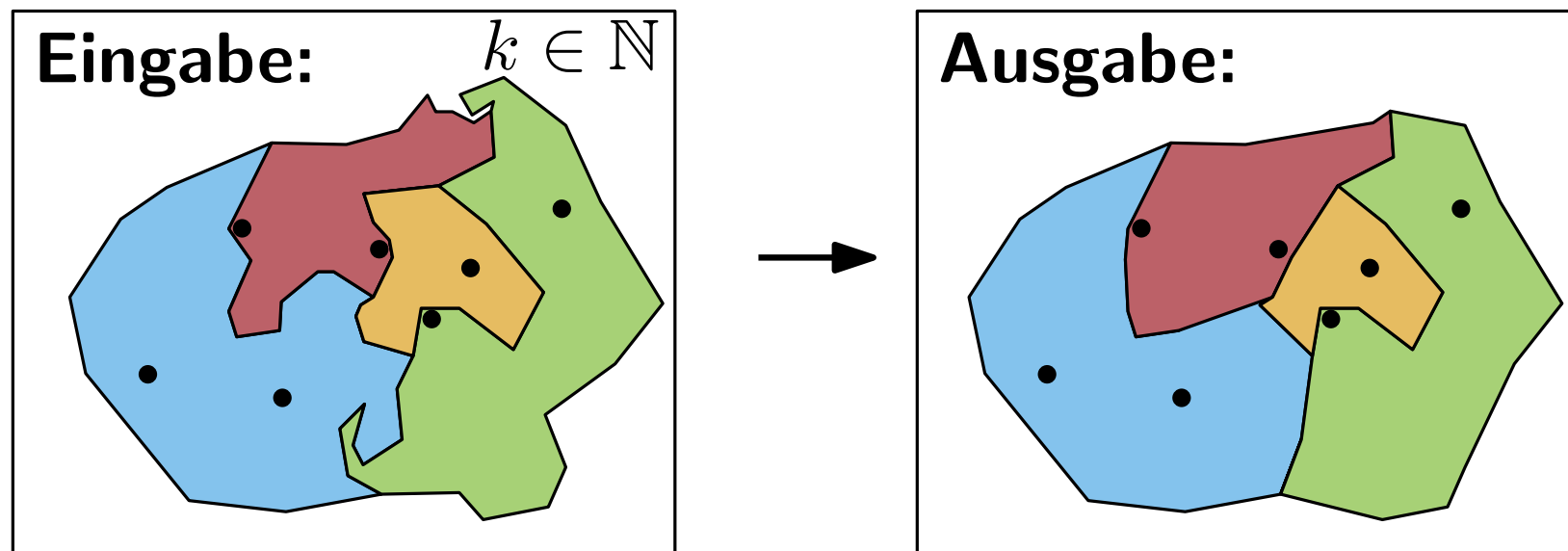
- typische Qualitätskriterien: Abstandsmaß, Anzahl Segmente
- einfache Greedy-Algorithmen
- Douglas-Peucker Algorithmus (und Beschleunigung)
- Dreiecksbasiertes Verfahren von Visvalingam/Whyatt
- exakte Optimierung als kürzeste-Wege-Problem in Graphen
- topologisch konsistente Vereinfachung von de Berg et al.
- de Berg et al. (1998) stellen noch weitere Anpassungen für einige praktisch relevante Fälle vor (z.B. nicht  $x$ -monoton)
- für Linienvereinfachung unter Hinzunahme zusätzlicher Knoten ist die Segmentminimierung NP-schwer [Guibas et al. '93]



# Projektarbeit: Kartenvereinfachung

# Projekt: Vereinfachung von Regionen

**Ziel:** Algorithmus zur Vereinfachung von Regionen einer Karte.



## Anforderungen:

- Topologie bleibt erhalten.
- Vereinfachte Regionen besitzen maximal  $k$  Kanten.

## Aufgabe:

- Entwicklung eines Algorithmus.
- Implementierung des Algorithmus.
- Testen der Implementierung.

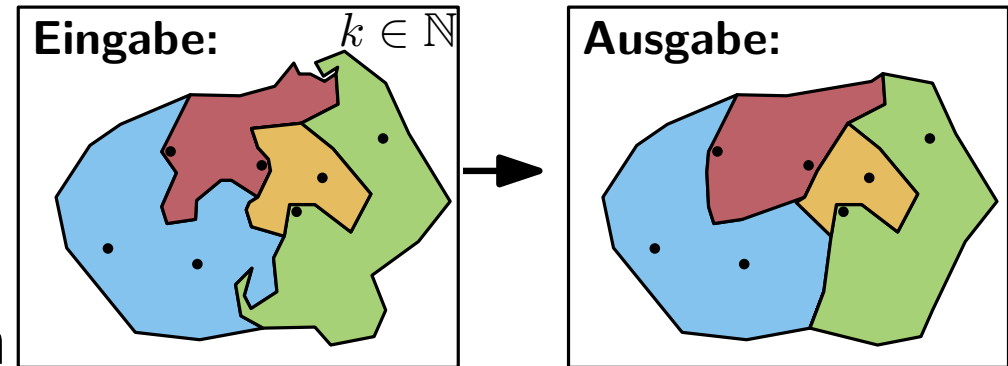
# Eckdaten des Projekts

**Team:** Jeweils 2 Personen

**Programmiersprache:**

Frei wählbar.

Empfehlung: Java oder Python



## Ablauf:

- Bis 13. Mai: Treffen mit Betreuer – Besprechung des geplanten Algorithmus.
- Bis 21. Juni: Abgabe der Projektdateien.
- Anfang Juli: 10 minütige Präsentation.

## Bewertung:

■ Präsentation

Testdaten gibt es auf der Homepage.

■ Implementierung

■ Alle Anforderungen erfüllt?

■ Wie stark lassen sich Regionen vereinfachen?